

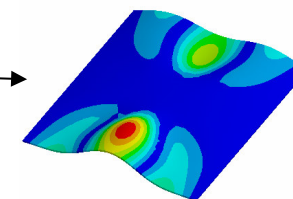
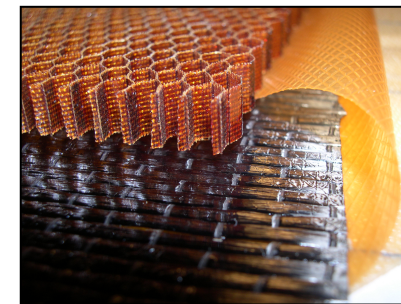
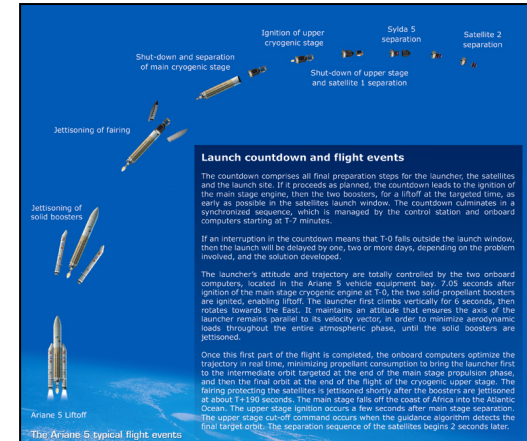
# Strukturberechnung an Raumfahrtträgern



**Thomas Ranz**

# Inhalt

- Motivation
- Raketengleichung
- Massenverhältnisse
- Missionsprofil
- Lasten
- Materialien
- Strukturen
- Simulation und Ausblick



## Ziel

- **Strukturoptimierung an Raumfahrtträgern**

## Schritte

- **Lastenanalyse**  
(statisch, dynamisch)
- **Wahl des Materials und der Strukturanalyse**  
(optimierter Materialeinsatz, analytische – numerische Lösungsverfahren)
- **Simulation und Verifikation**  
(Strukturberechnung und Ergebniskontrolle)

# Raketengleichung

Ziolkowski (~ 1900)

**Annahmen:**

keine Kräfte zufolge Schwerkraft  
und Luftwiderstand

$m_R(t)$ ... Masse der Rakete zum Zeitpunkt  $t$

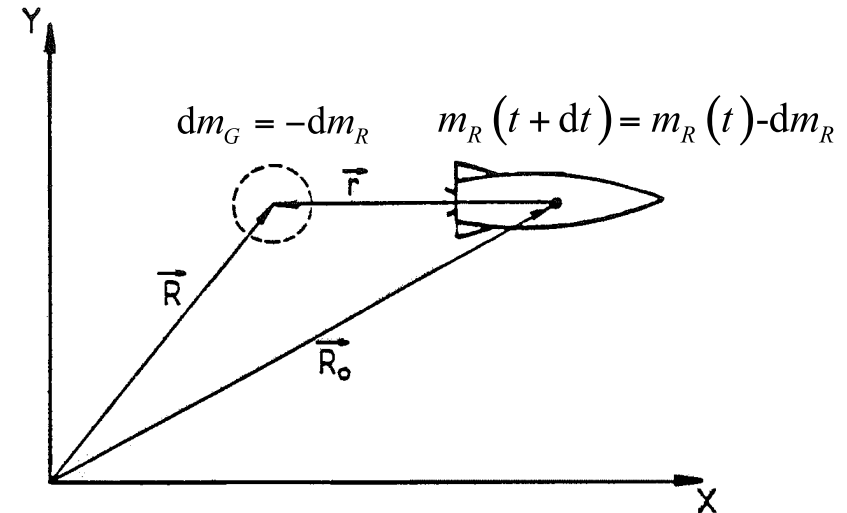
$\mathbf{v}_R(t)$ ... Geschwindigkeit der Rakete im Inertialsystem

$dm_R$ ... Änderung der Raketenmasse im Zeitintervall  $dt$

$dm_G$ ... ausgestoßene Gasstrahlmasse im Zeitintervall  $dt$

$\mathbf{c}_e$ ... Austrittsgeschwindigkeit der Gasstrahlmasse  
(bezogen auf den Raketenkörper)

$\mathbf{w} = \mathbf{v}_R + \mathbf{c}_e$ ... Geschwindigkeit der Gasstrahlmasse im Inertialsystem



# Raketengleichung

## Ziolkowski (~ 1900)

Impuls  $I(t)$  des Raketensystems zum Zeitpunkt  $t$  im Inertialsystem:

$$\mathbf{I}(t) = m_R(t) \cdot \mathbf{v}_R(t)$$

Impuls  $I(t+dt)$  des Raketensystems zum Zeitpunkt  $t+dt$  im Inertialsystem:

$$\begin{aligned} \mathbf{I}(t+dt) &= m_R(t+dt) \mathbf{v}_R(t+dt) + dm_G \mathbf{w} \\ &= (m_R + dm_R)(\mathbf{v}_R + d\mathbf{v}_R) - dm_R(\mathbf{v}_R + \mathbf{c}_e) \end{aligned}$$

Impulserhaltungssatz:

$$\mathbf{I}(t) = \mathbf{I}(t+dt) \quad \rightarrow \quad m_R(t) \mathbf{v}_R(t) = (m_R + dm_R)(\mathbf{v}_R + d\mathbf{v}_R) - dm_R(\mathbf{v}_R + \mathbf{c}_e)$$

Geschwindigkeitsänderung  
der Rakete

$$d\mathbf{v}_R = \frac{dm_R}{m_R} \mathbf{c}_e \quad \rightarrow \quad \mathbf{v}_2 - \mathbf{v}_1 = \Delta \mathbf{v}_R = \int_{t_1}^{t_2} d\mathbf{v}_R = -\mathbf{c}_e \ln \frac{m_R(t_1)}{m_R(t_2)}$$

Gesucht: größtmögliches  $\Delta v$  für den Flug!

$$\Delta v = c_e \ln \frac{m_R(t_1)}{m_R(t_2)}$$

# Massenverhältnisse der Rakete

**Gesamte Raketenmasse:**  $m_R = m_N + m_S + m_T = m_B + m_T \equiv m_0$

$m_N$ ... Nutzlastmasse (Payload)

$m_S$ ... Strukturmasse

$m_T$ ... Treibstoffmasse

$m_B$ ... Brennschlussmasse

**Definierte Verhältnisse:**

**Massenverhältnis**  $r = \frac{m_0}{m_B}$

**Nutzlastmassenverhältnis**

**Strukturmassenverhältnis**

$$\lambda = \frac{m_N}{m_0}$$

$$\sigma = \frac{m_S}{m_0}$$

**Beziehungen der Massenverhältnisse**

$$\frac{m_0}{m_B} \cdot \frac{m_B}{m_0} = \frac{m_0}{m_B} \cdot \frac{m_N + m_S}{m_0} = r(\lambda + \sigma) = 1 \quad \rightarrow \quad r = \frac{1}{\lambda + \sigma}$$

# Strukturmasse $\sigma \Leftrightarrow \Delta v$

Massenverhältnis:  $r = \frac{m_0}{m_B}$

Antriebsvermögen:  $\Delta v = c_e \ln \frac{m_R(t_1)}{m_R(t_2)}$

**Einfluss der Strukturmasse auf das Antriebsvermögen:**

$$\Delta v = c_e \ln \frac{m_0}{m_B} = c_e \ln r = c_e \ln \frac{1}{\lambda + \sigma}$$

**Erkenntnis:**  $> m_S \rightarrow > \sigma \rightarrow < \Delta v$

**Strukturmassenverhältnisse:**  
(abhängig von der Raketenart/Konstruktion und den Werkstoffen)

$$\sigma = 0.2 \div 0.05$$

**Oberstufe**  $\sigma >$

**Unterstufe**  $\sigma <$

# Nutzlastmasse $\lambda \Leftrightarrow \Delta v$

Nutzlastmasseverhältnis:  $\lambda = \frac{m_N}{m_0}$

Austrittsgeschwindigkeit Gasstrahl:  
(Atmosphäre)

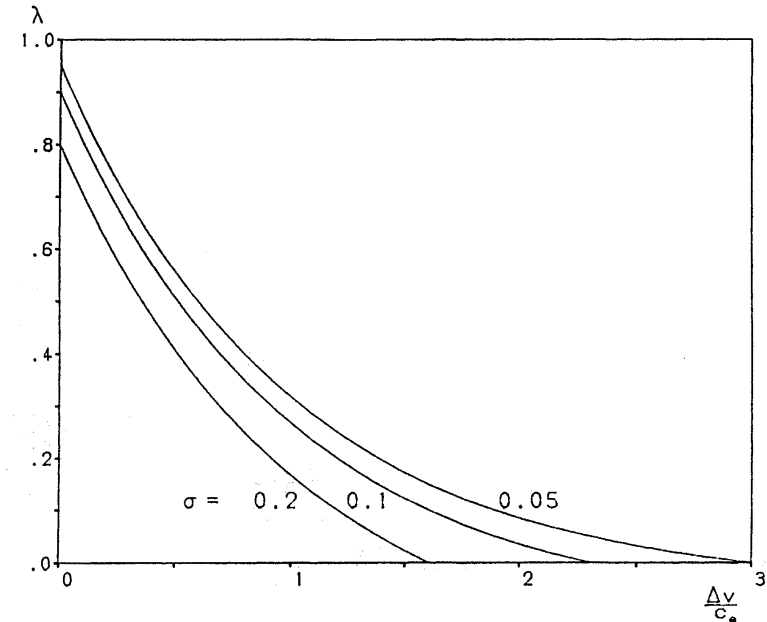
$$c_e \approx 3000 \frac{m}{s}$$

Keine Nutzlast:

$$\lambda \ll 1, \sigma = 0.05 \rightarrow \max \frac{\Delta v}{c_e} = 3 \rightarrow \max \Delta v = 9000 \frac{m}{s}$$

Kreisbahngeschwindigkeit - Erde:  $v_K \approx 7900 \frac{m}{s}$

Fluchtgeschwindigkeit - Erde:  $v_F \approx 11200 \frac{m}{s}$



Nutzlasttransport => Mehrstufenprinzip in der Raumfahrt

# Mehrstufenprinzip

## Antriebsvermögen

**Serienstufung:** Stufen arbeiten hintereinander  
(überwiegend Höhenforschungsraketen)

$$\Delta v = \sum_{i=1}^n \Delta v_i = \sum_{i=1}^n c_{e,i} \ln \frac{1}{\sigma_i + \frac{m_{0,i+1}}{m_{0,i}}}$$

**Parallelstufung:** Stufen arbeiten parallel

$$\Delta v = \frac{\sum_{i=1}^n \dot{m}_i c_{e,i}}{\sum_{i=1}^n \dot{m}_i} \ln \frac{1}{\lambda + \sigma}$$

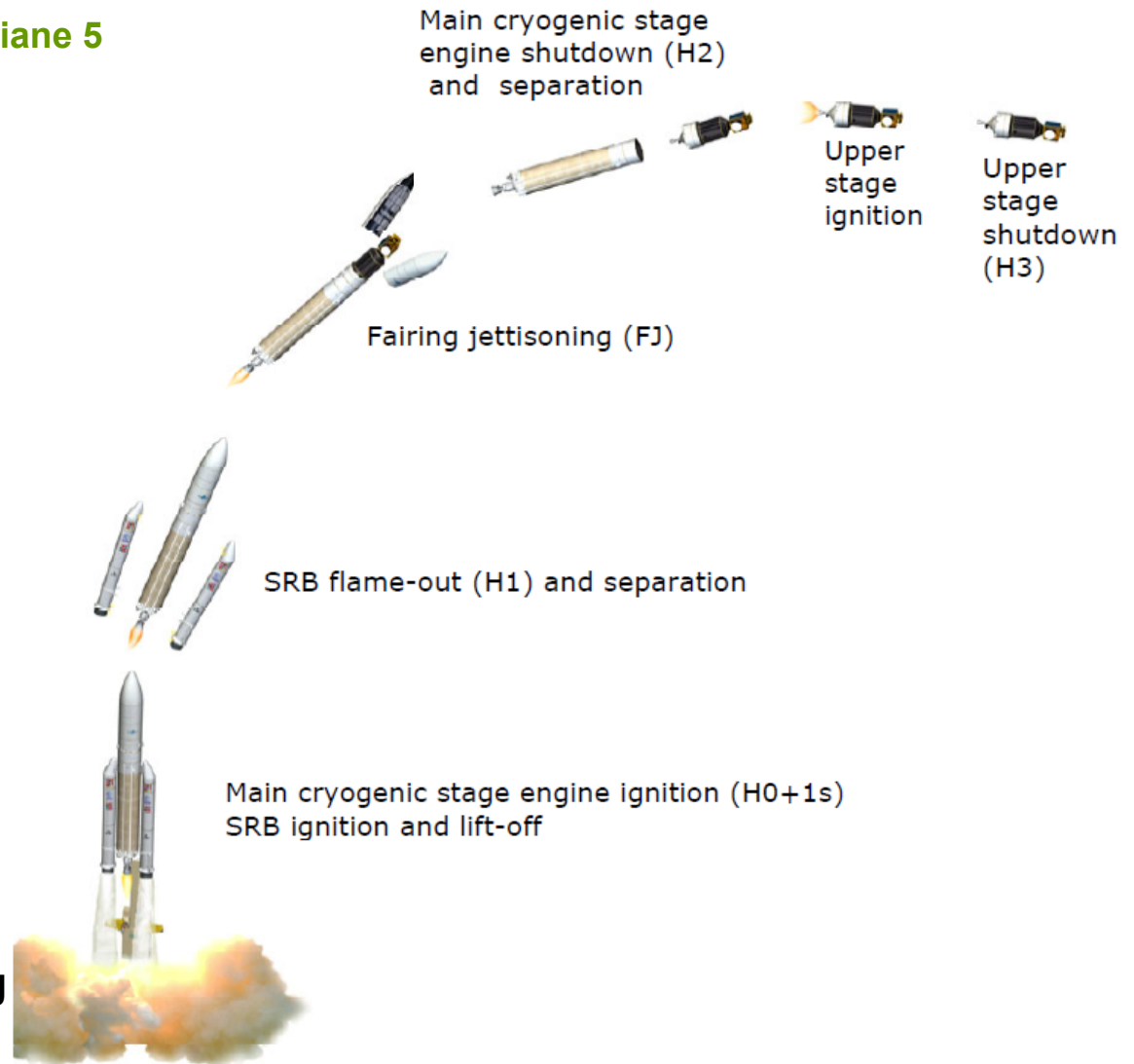
Es gilt wiederum:

$$> m_S \rightarrow > \sigma \rightarrow < \Delta v$$

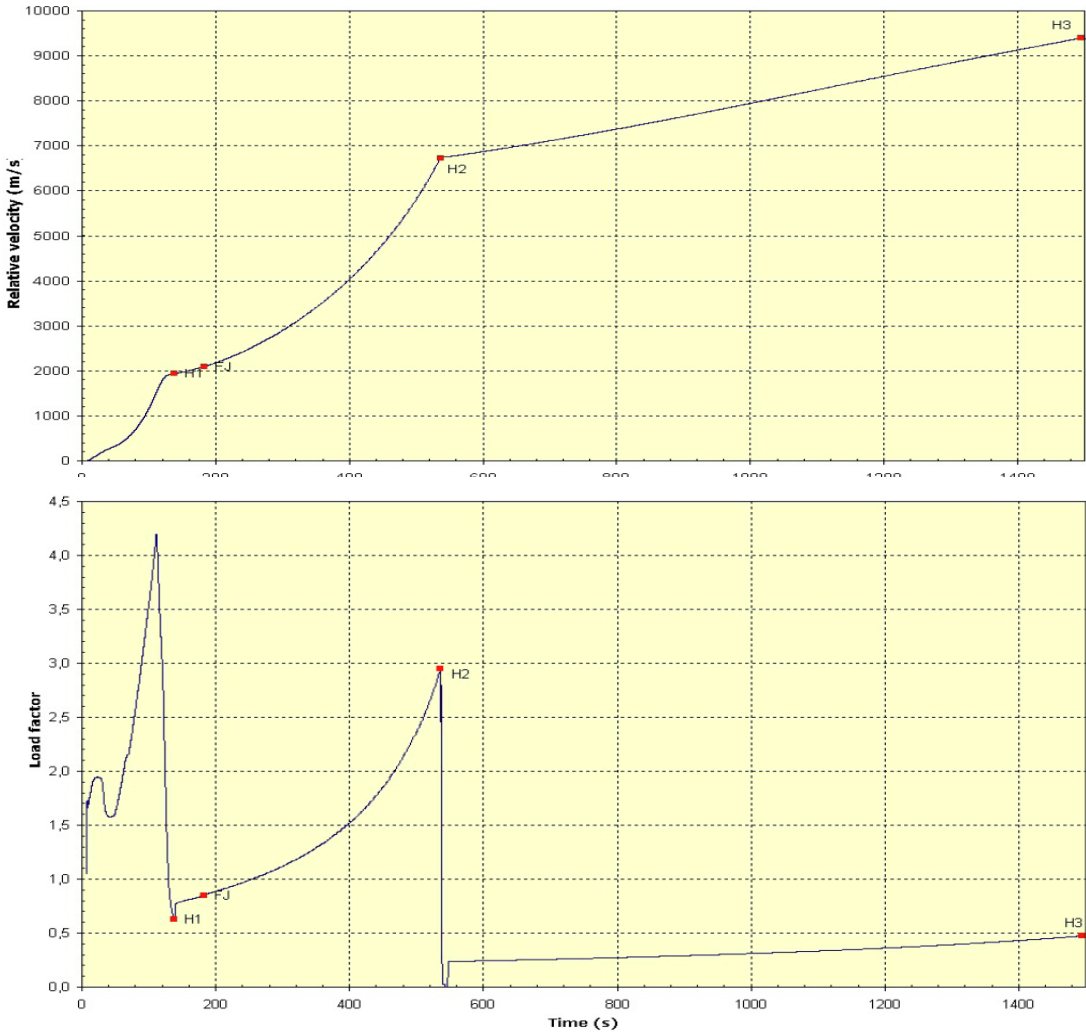
**Missionsprofil**

# Missionsprofil *Ariane 5*

- **Zündung der Hauptstufe (t=H0+1s)**
- **Zündung der Feststoffbooster (t=H0+7.05s)**
- **Trennung der Booster H1 (t=H0+~120s)**
- **Abwurf der Fairing FJ (t=H0+~180s)**
- **Trennung der Hauptstufe H2 (intermediate target orbit/ Zwischenzielorbit)**
- **Zündung Oberstufe**
- **Abschaltung/Trennung H3 Oberstufe (Zielorbit)**
- **Ausrichtung und Aktivierung der Nutzlast für die Mission**



# Geschwindigkeit/Beschleunigung Ariane 5 GTO



# Quasi Statische Lasten Ariane 5

- **Am Boden**

- Herstellung
- Zusammenbau
- Transport
- Endmontage

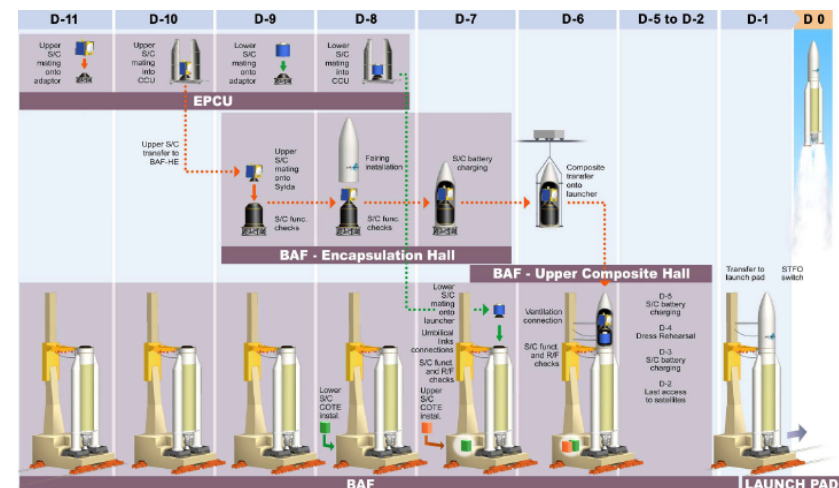


- **Im Flug**

- Aerodynamische Lasten (Wind, Böe, Flattern bei Überschallgeschwindigkeit)
- Antriebslasten (Schubaufbau, Trennung) longitudinale Beschleunigung max 4.55g laterale Beschleunigung max 0.25g

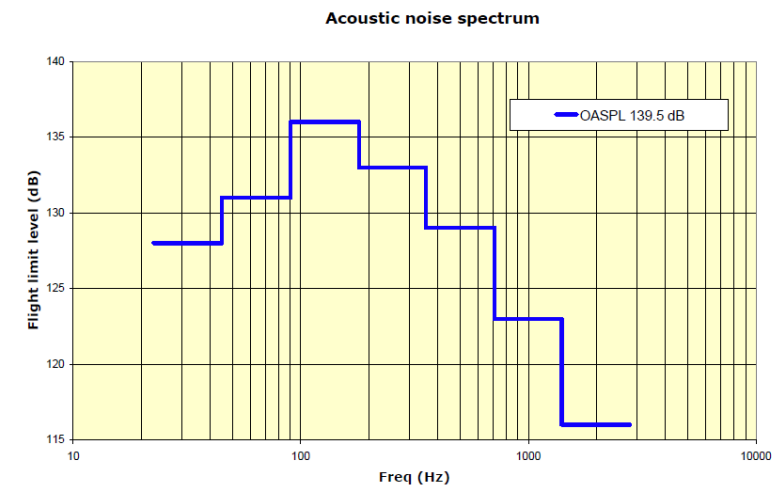
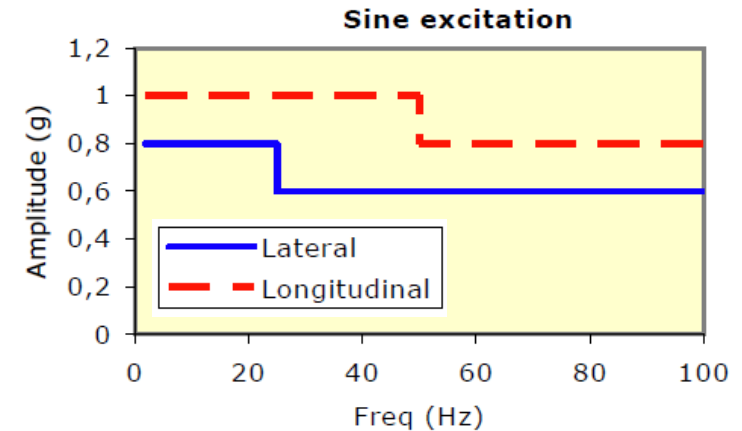
- **Temperaturlasten**

- Sonneneinstrahlung am Starttag
- Temperaturdifferenzen (Betankung)
- Betrieb Raketenmotor



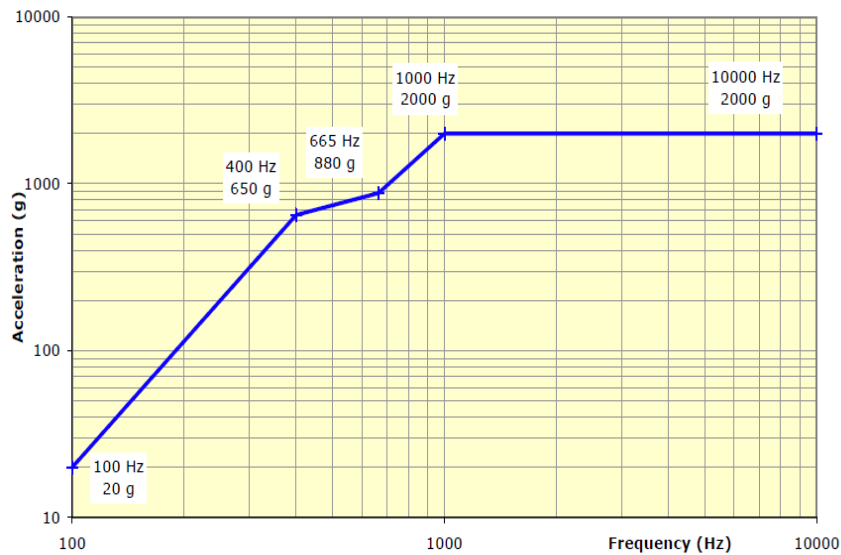
# Dynamische Lasten Ariane 5

- **Sinusäquivalente Dynamik**  
(harmonische Anregung)  
Niedrige Frequenzen (bis 100 Hz)  
Raketentriebwerk => Strukturschwingung
- **Akustische Vibrationen**  
Frequenzen (ca. 30 - 3000 Hz)  
Raketentriebwerk/instationäre Aerodynamik => Druckschwankungen
- **Beliebige Anregung**  
Näherungsweise (konservativ)  
abgedeckt durch sinusförmige  
und akustische Dynamik
- **Modal-, Transiente-, Spektrumanalyse**  
(nach Ermessen/Vorgabe)

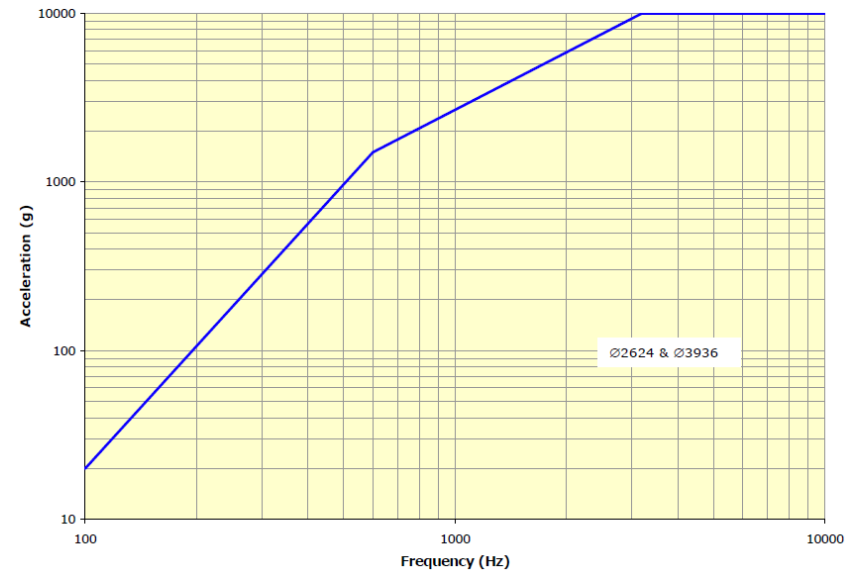


# Schockwellen Ariane 5

## Trennung Booster, Fairing, Hauptstufe, Oberstufe



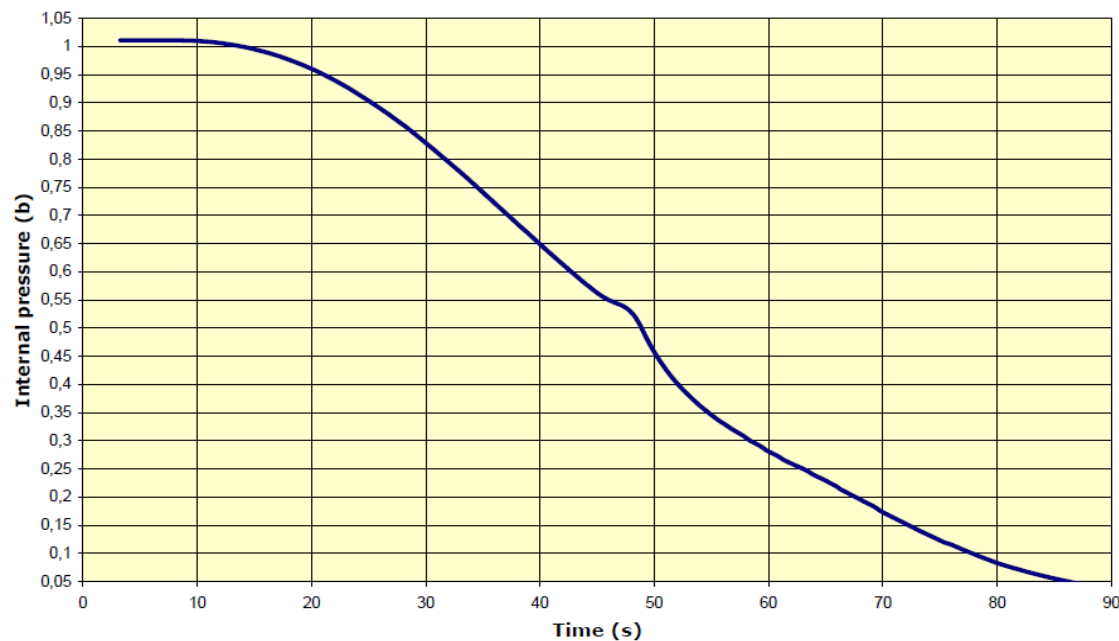
**Hüllkurve des Schockspektrums an einem Anschluss zufolge Trennung Fairing und Oberstufe**



**Zulässiges Schockspektrum an einem geschraubten Anschluss**

# Statischer Druck auf Payload Ariane 5

- Am Boden: Ventilationssystem zur Kühlung
- Im Flug: Garantierte niedrige Druckentspannung



Druckänderung im Payload Volumen

Nichtmechanische Lasten: Thermale und elektromagnetische Lasten

# Strukturlasten Ariane 5

## Primäre (quasi statische) Strukturlasten

**Jede Strukturkomponente: jeweilige Massenträgheitskräfte**

**Booster: Innendruck und exzentrische axiale (Schub) Kraft**

**Motoren, Tanks und Druckleitungen: Innendruck**

**Hauptstufe und Oberstufe: axiale (Schub) Kraft und  
Wärmespannungen (kryogener Treibstoff)**

**Adapter: axiale (Schub) Kraft**

# Bemessung (Design Requirements, Arianespace z. B. Payload) Ariane 5

- **Sicherheitsanforderungen**  
entsprechend Sicherheitsregeln Guiana Space Center (CSG)  
(Schutz von Personen, Anlagen, Umwelt beim Betrieb von gefährlichen Konstruktionen und Anlagen)
- **Materialwahl**  
**Ausgaskriterien – flüchtendes Material**
- **Mechanische Größen**  
**Masse, Massenschwerpunkt (CoG)**  
statische Unwucht: Toleranzwert für CoG  
dynamische Unwucht: Kongruenz der Hauptträgheitsachsen
- **Anforderungen an die Eigenfrequenz, z. B:**  
>= 31 Hz Raumfahrzeug (S/C) Masse < 4000 kg  
>= 27 Hz S/C Masse >= 4000 kg

 CENTRE SPATIAL GUYANAIS	Ref : CSG-RS-10A-CN
	Ed/Rev : 5/0
	Page : 1
	Date : 15.12.97

Sous-Direction  
chargée de la Protection,  
de la Sauvegarde et de l'Environnement  
Division Sauvegarde et Environnement  
Département Etudes et Réglementation

*PX/05307  
reglement 04/08/98*

CSG SAFETY REGULATIONS GENERAL RULES VOLUME 1
---

<b>Author's summary :</b>	
The CSG Safety Regulations contain the rules to be applicable on the BLA to protect persons, property and the environment against potentially hazardous systems from the design stage through operations. The include general rules and specific rules depending on the nature of the system.	
<b>Language : English</b>	<b>DPT : Word for WINDOWS</b>
<b>Keywords : REGULATIONS - SAFETY - FLIGHT SAFETY - GROUND SAFETY - ENVIRONMENT</b>	

# Bemessung (Dimensioning Loads z. B. Payload) Ariane 5

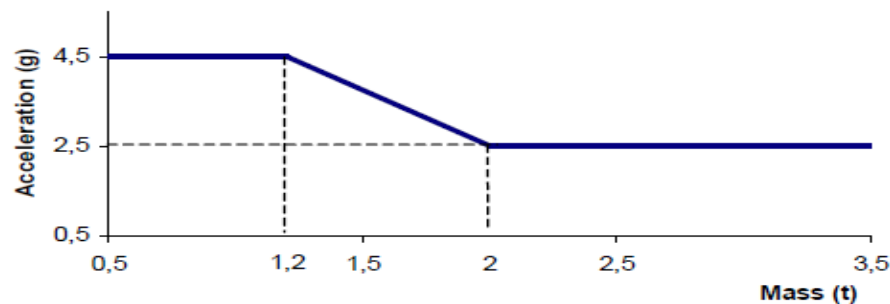
- Lastfaktoren (Design load factors)

Acceleration (g)	Longitudinal		Lateral	Additional line load (N/mm)
	Static	Dynamic	Static + Dynamic	
<b>Critical flight events</b>				
Lift-off	- 1.8	± 1.5	± 2	10 (15*)
Maximum dynamic pressure	- 2.7	± 0.5	± 2	14 (21*)
SRB end of flight	- 4.55	± 1.45	± 1	20 (30*)
Main core thrust tail-off	- 0.2	± 1.4	± 0.25	0
Max. tension case: SRB jettisoning	+ 2.5**		± 0.9	0

\* with adapter PAS 2624

**SRB ... Solid Rocket Booster**

\*\* for a spacecraft with first longitudinal frequency above 40 Hz, the tension value is the following:



# Bemessung (Dimensioning Loads z. B. Payload) Ariane 5

- **Linienlasterhöhung (Line loads peaking)**  
zufolge Imperfektionen (geometrische Abweichungen, lokal unterschiedliche Struktursteifigkeit)  
=> Schubkraft nicht zentrisch
- **Montagelasten (handling loads)**  
z. B: zusätzliche Lasten an der Payload (~ 200 kg Adaptergewicht)
- **Dynamische Lasten (Dynamic loads)**  
entsprechend den Beschleunigungsspektren  
für Sekundärstruktur und Anbauteile (Solar Panel, Antenne)



# Bemessung (Kompatibilität und Nachweisanforderungen) Ariane 5

**Sicherheitsfaktoren (Safety factors)**  
dienen als Reserve bei erhöhten Lastfaktoren,  
positive Reserven gegenüber Streck- und Bruchgrenze

S/C tests	Qualification	
	Factors	Duration/Rate
Static (QSL)	1,25 ultimate 1,1 yield	N/A
Sine vibrations	1,25	2 oct/min
Acoustics	1.41 (or +3 dB)	120 s
Shock	1.41 (or +3 dB)	N/A

N/A Not Applicable; S/C Spacecraft; QSL Quasi Static Load



# Qualifikation (Prüftests) Ariane 5

- **Statischer Test (static test)**  
**Primärstruktur**
- **Dynamischer Test (sinusoidal vibration test)**  
**Frequenzlauf in jede Achse (Shaker)**
- **Schalltest (acoustic vibration test)**  
**im Schallraum**
- **Schockprüfung (shock qualification)**  
**Test der Primärstruktur**  
**Analyse der Ausrüstung, Anbauteile**
- **Brennversuch (Firing Test)**  
**Booster**



# Struktur einer Rakete Ariane 5

<b>CRYOGENIC MAIN CORE STAGE (EPC)</b>	
<b>SOLID ROCKET BOOSTER (EAP)</b>	
Inter Stage Structure (ISS)	
<b>CRYOGENIC UPPER STAGE (ESC-A)</b>	
<b>VEB</b>	
<b>CONE 3936</b>	
<b>SYLDA5</b>	
<b>PAYLOAD FAIRING</b>	
Diameter	5.4 m
Height	17 m
Mass	2675 kg
Structure	Two halves - Sandwich CFRP sheets and aluminium honeycomb core
Acoustic protection	Foam sheets
Separation	Horizontal and vertical separations by leak-proof pyrotechnical expanding tubes

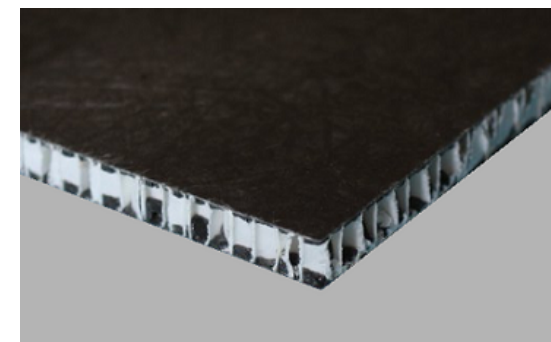
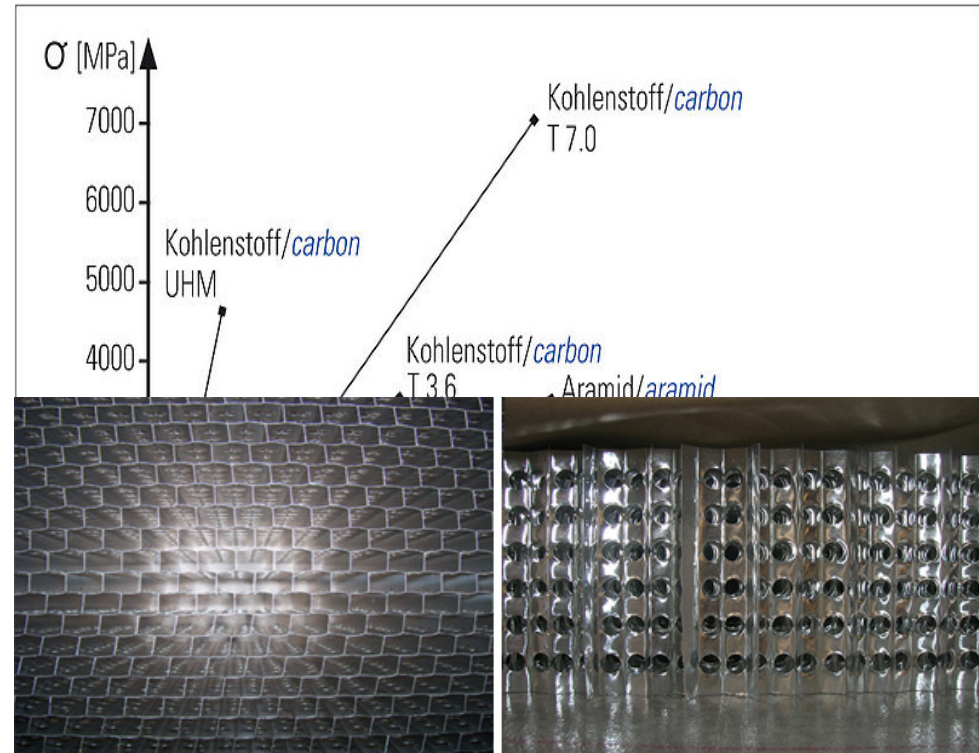


**Carbon Fibre Reinforced Plastics (CFRP)**

# Strukturmateriale

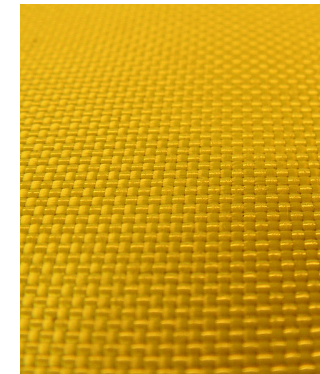
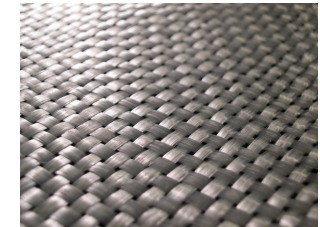
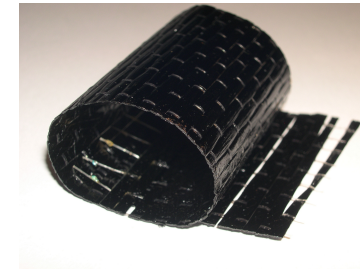
## Ariane 5

- **Hochfester rostfreier Stahl**  
höhere Festigkeit/Steifigkeit  
gute Korrosionsbeständigkeit
- **Aluminiumlegierung**  
geringere Festigkeit/Steifigkeit  
jedoch geringe Dichte
- **Kohlenstofffaser verstärkter Kunststoff (CFRP)**  
sehr hohe Festigkeit/Steifigkeit  
geringe Dichte
- **Aluminium Wabenstruktur**  
geringe Festigkeit/Steifigkeit  
jedoch sehr geringe Dichte
- **Sandwich (CFRP Schale mit Kern aus Aluminium Wabenstruktur)**  
sehr hohe Festigkeit/Steifigkeit, sehr geringe Dichte
- **Kork**  
ablativer/dämmender Werkstoff



# Faserwerkstoffe

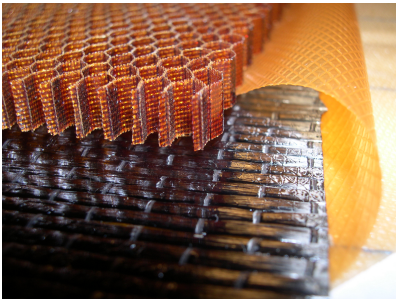
- Glasfaser**  
 gute mechanische, thermische, chemische Eigenschaften  
 Festigkeit wie bei Metallen, Steifigkeit niedriger als bei Metallen
- Kohlenstofffaser**  
 gute Dauerfestigkeit, geringe Wärmeausdehnung  
 Strahlendurchlässig und elektrisch leitend  
 höhere Festigkeit/Steifigkeit als GFK
- Aramidfaser (organische Kunstfasern)**  
 Dämpfungseigenschaften, nicht entflammbar,  
 chemische Beständigkeit  
 Festigkeit/Steifigkeit ähnlich Glasfaser



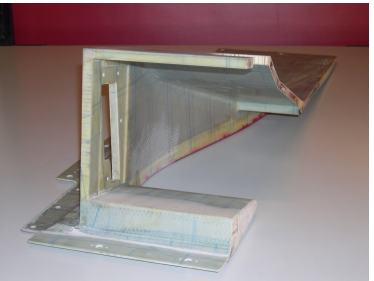
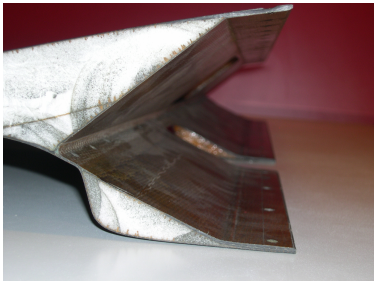
Werkstoff	Dichte g/cm <sup>3</sup>	Zugfestigkeit MPa	Zug-E-Modul GPa	Lineare Dehngrenze %	Reißlänge km
Stahl	7,8	1,8 - 2,2	210	1,4 - 1,7	max. 30
Glasfasern	2,6	1,8 - 3,0	72 - 83	2 - 3	70 - 120
Kohlenstofffasern	1,7 - 1,9	2,4 - 7,0	230 - 700	0,5 - 2,3	150 - 380
Aramidfasern	1,4 - 1,5	2,3 - 3,5	60 - 130	2,0 - 4,0	180 - 240

# Faser-Verbund-Werkstoff (CFK, GFK ...)

- **Faser-Verbund-Werkstoff (FVW)**  
Glas-Faser-Kunststoff (GFK)  
Kohlenstoff-Faser-Kunststoff (CFK)  
Aramid-Faser-Kunststoff (AFK)



- **FVW-Konstruktionen**  
direkter Strukturwerkstoff (Stäbe, Balken, Membrane)  
verbauter Werkstoff (Sandwichplatten)

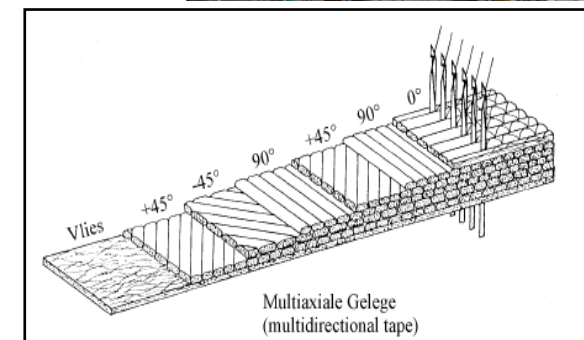
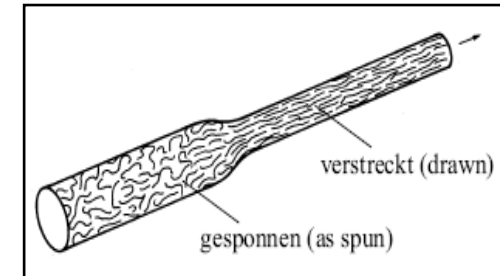


# Verbundaufbau

## gerichtete Langfasern

### Faser-Kunststoff-Verbund

- **Faser:**  
Aufgabe: am Bauteil anliegende Lasten übernehmen  
Nutzung der starken atomaren Bindung  
Eigenschaften (Größeneffekt, Orientierung, Kerbfreiheit, Eigenspannungen)  
Faser-Halbzeuge (Gewebe, Multiaxialgelege, Matte, Vlies, etc)
- **Matrix:**  
Aufgabe: fixiert, verklebt und stützt die Faser  
trägt quer zur Faser, bildet den Schichtverbund  
primär Duroplaste (Harze)
- **Faser-Matrix-Grenzfläche:**  
Aufgabe: bildet Haftfestigkeit  
Grenzschicht beeinflusst mechanische Eigenschaften  
8 % der Matrix sind Grenzschichten

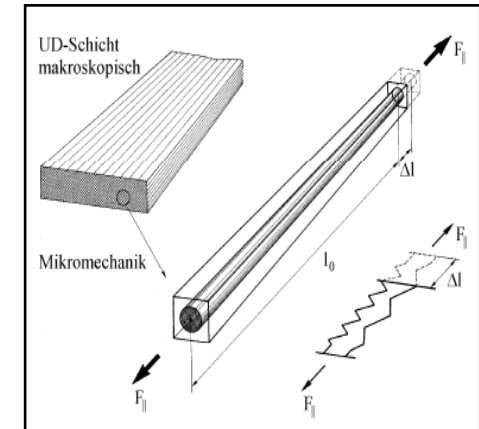


# Faser-Kunststoff-Verbund (FKV)

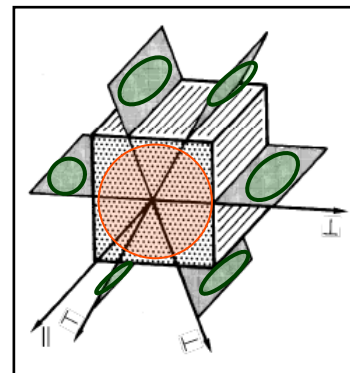
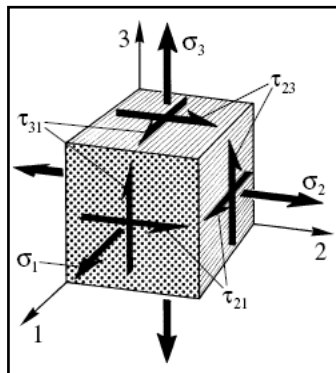
## Faser-Kunststoff-Verbund

### UD-Schicht

- **Annahmen:**  
 paralleler Faserverlauf  
 gleichmäßige Verteilung über QS  
 verlaufen ideal gerade ohne Unterbrechung  
 Matrix und Faser haften ideal aneinander



- **Lineares Elastizitätsgesetz fürs Kontinuum:**  
 Transversale Isotropie (spezielle Orthotropie)  
**isotrope Ebene (IE) normal zur Faserlängsrichtung**  
**senkrecht zur IE unendliche viel Symmetrieebenen**



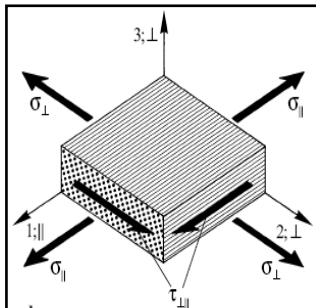
$$\begin{Bmatrix} \varepsilon_1 \\ \varepsilon_2 \\ \varepsilon_3 \\ \gamma_{23} \\ \gamma_{31} \\ \gamma_{21} \end{Bmatrix} = \begin{bmatrix} \frac{1}{E_{||}} & -\frac{\nu_{||\perp}}{E_{\perp}} & -\frac{\nu_{||\perp}}{E_{\perp}} & 0 & 0 & 0 \\ -\frac{\nu_{\perp||}}{E_{||}} & \frac{1}{E_{\perp}} & -\frac{\nu_{\perp||}}{E_{\perp}} & 0 & 0 & 0 \\ -\frac{\nu_{\perp||}}{E_{||}} & -\frac{\nu_{\perp||}}{E_{\perp}} & \frac{1}{E_{\perp}} & 0 & 0 & 0 \\ 0 & 0 & 0 & \frac{1}{G_{\perp\perp}} & 0 & 0 \\ 0 & 0 & 0 & 0 & \frac{1}{G_{\perp\perp}} & 0 \\ 0 & 0 & 0 & 0 & 0 & \frac{1}{G_{\perp\perp}} \end{bmatrix} \begin{Bmatrix} \sigma_1 \\ \sigma_2 \\ \sigma_3 \\ \tau_{23} \\ \tau_{31} \\ \tau_{21} \end{Bmatrix}$$

Nachgiebigkeitsmatrix [S]

# FKV

## UD-Schicht

- Lineares Elastizitätsgesetz der Scheibe:  
Reduzierung aufgrund des ESZ

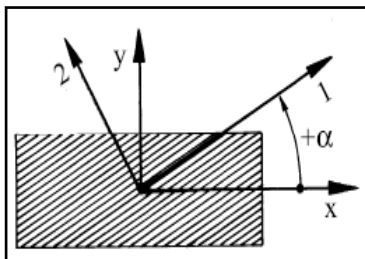


$$\begin{Bmatrix} \epsilon_1 \\ \epsilon_2 \\ \gamma_{21} \end{Bmatrix} = \underbrace{\begin{bmatrix} S_{11} & S_{12} & 0 \\ S_{12} & S_{22} & 0 \\ 0 & 0 & S_{66} \end{bmatrix}}_{\text{Nachgiebigkeitsmatrix [S]}} \cdot \begin{Bmatrix} \sigma_1 \\ \sigma_2 \\ \tau_{21} \end{Bmatrix}$$

$\{\epsilon\} = [S] \cdot \{\sigma\}$

$$\begin{Bmatrix} \epsilon_1 \\ \epsilon_2 \\ \gamma_{21} \end{Bmatrix} = \underbrace{\begin{bmatrix} +\frac{1}{E_{||}} & -\frac{\nu_{||\perp}}{E_{\perp}} & 0 \\ -\frac{\nu_{\perp||}}{E_{||}} & +\frac{1}{E_{\perp}} & 0 \\ 0 & 0 & \frac{1}{G_{\perp||}} \end{bmatrix}}_{\text{Nachgiebigkeitsmatrix [S]}} \cdot \begin{Bmatrix} \sigma_1 \\ \sigma_2 \\ \tau_{21} \end{Bmatrix}$$

- Polartransformation:  
Faserwinkel



$$\begin{Bmatrix} \epsilon_x \\ \epsilon_y \\ \gamma_{xy} \end{Bmatrix} = \begin{bmatrix} \bar{S}_{11} & \bar{S}_{12} & \bar{S}_{16} \\ \bar{S}_{12} & \bar{S}_{22} & \bar{S}_{26} \\ \bar{S}_{16} & \bar{S}_{26} & \bar{S}_{66} \end{bmatrix} \cdot \begin{Bmatrix} \sigma_x \\ \sigma_y \\ \tau_{xy} \end{Bmatrix}$$

**Faser-Kunststoff-Verbund**

**FKV**

**Mehrschichtverbund (MSV)**

- **Klassische Laminattheorie (CLT) des MSV als Scheibenelement:**  
mechanische Modellierung des MSV als Scheibenelement

**Kräftegleichgewicht am MSV**  
(kinetische Beziehung)

**Konstitutive Beziehung der ES**

$$\{\sigma\}_k \text{ durch } [\bar{Q}]_k \cdot \{\varepsilon\}_k$$

**Kinematische Beziehung am MSV**

$$\begin{aligned} \varepsilon_{xk} &= \hat{\varepsilon}_x \\ \varepsilon_{yk} &= \hat{\varepsilon}_y \\ \gamma_{xyk} &= \hat{\gamma}_{xy} \end{aligned}$$

$$\begin{aligned} \hat{n}_x &= \hat{\sigma}_x \cdot t = \sum_{k=1}^n n_{xk} = \sum_{k=1}^n \sigma_{xk} \cdot t_k \\ \hat{n}_y &= \hat{\sigma}_y \cdot t = \sum_{k=1}^n n_{yk} = \sum_{k=1}^n \sigma_{yk} \cdot t_k \\ \hat{n}_{xy} &= \hat{\tau}_{xy} \cdot t = \sum_{k=1}^n n_{xyk} = \sum_{k=1}^n \sigma_{xyk} \cdot t_k \end{aligned}$$

**Konstitutive Beziehung des MSV**

# FKV

## Mehrschichtverbund (MSV)

- **Klassische Laminattheorie (CLT) des MSV als Scheibenelement:**  
**Konstitutive Beziehung des MSV** →  
**Spannungs-, Verformungsanalyse in den Schichten des MSV**

$$\begin{Bmatrix} \hat{n}_x \\ \hat{n}_y \\ \hat{n}_{xy} \end{Bmatrix} = \underbrace{\begin{bmatrix} \sum_{k=1}^n \bar{Q}_{11k} \cdot t_k & \sum_{k=1}^n \bar{Q}_{12k} \cdot t_k & \sum_{k=1}^n \bar{Q}_{16k} \cdot t_k \\ \sum_{k=1}^n \bar{Q}_{12k} \cdot t_k & \sum_{k=1}^n \bar{Q}_{22k} \cdot t_k & \sum_{k=1}^n \bar{Q}_{26k} \cdot t_k \\ \sum_{k=1}^n \bar{Q}_{16k} \cdot t_k & \sum_{k=1}^n \bar{Q}_{26k} \cdot t_k & \sum_{k=1}^n \bar{Q}_{66k} \cdot t_k \end{bmatrix}}_{\text{Scheiben-Steifigkeitsmatrix } [A]} \cdot \begin{Bmatrix} \hat{\epsilon}_x \\ \hat{\epsilon}_y \\ \hat{\gamma}_{xy} \end{Bmatrix}$$

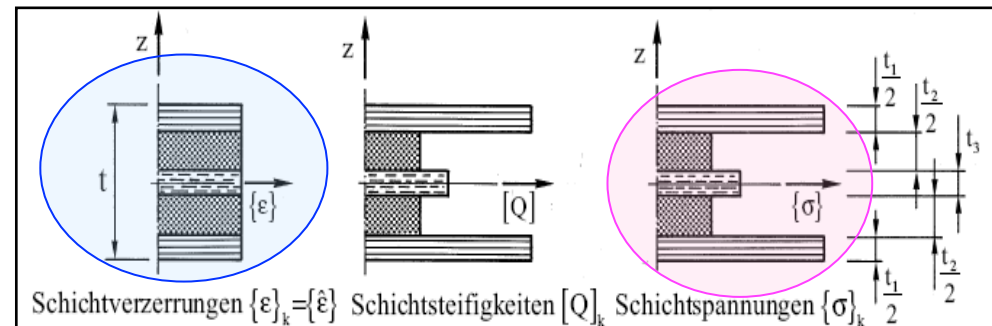
$$\{\hat{n}\} = [A] \cdot \{\hat{\epsilon}\}$$

$\bar{Q}_{ij}$  = in das x,y-MSV-Koordinatensystem transformierte Schichtsteifigkeiten

**Schnittkräften**

**Schichtverzerrungen**

**Schichtspannungen**



**Mechanisches Verhalten**

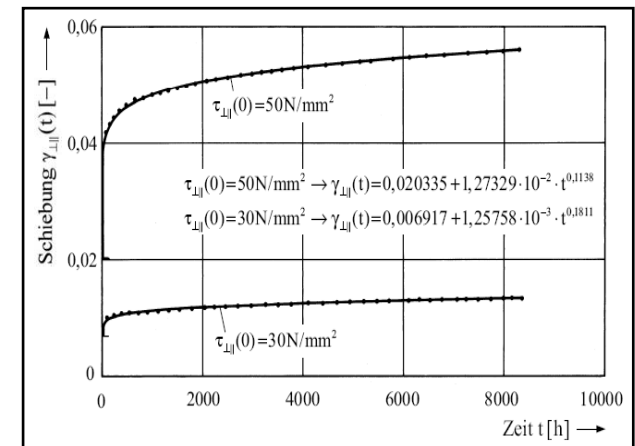
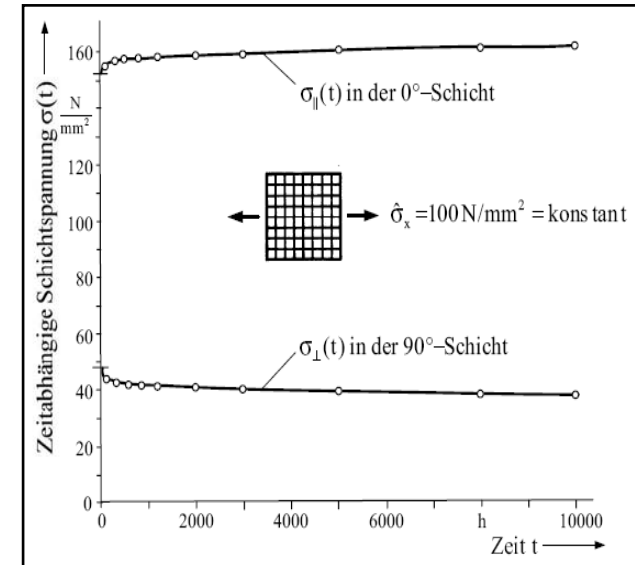
# Langzeitverhalten

## Phänomenologie

- **Retardations-, Relaxationsvorgänge:**  
Verbund innerlich statisch unbestimmt =>  
Kräfteumlagerung Matrix/Faser =>  
Abbau Spannungsspitzen
- **Rheologische Vorgänge:**  
Faser zeitinvariant  
Matrix stark zeitabhängig
- **Viskoelastisches Verhalten**

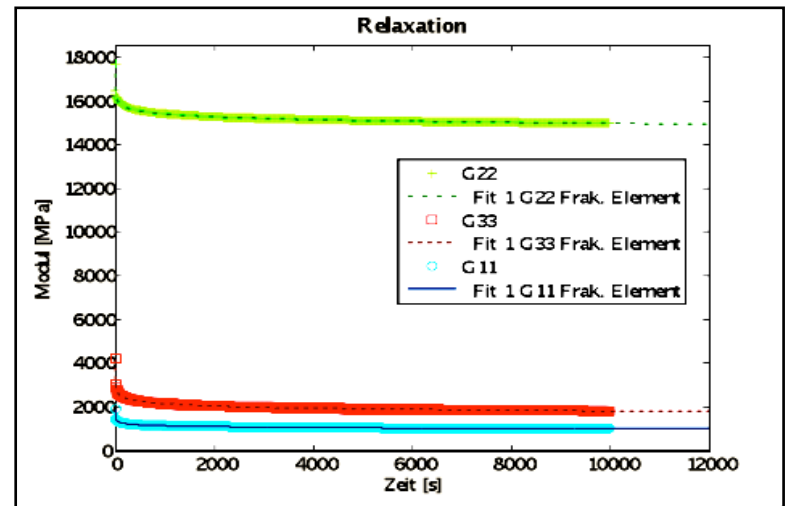
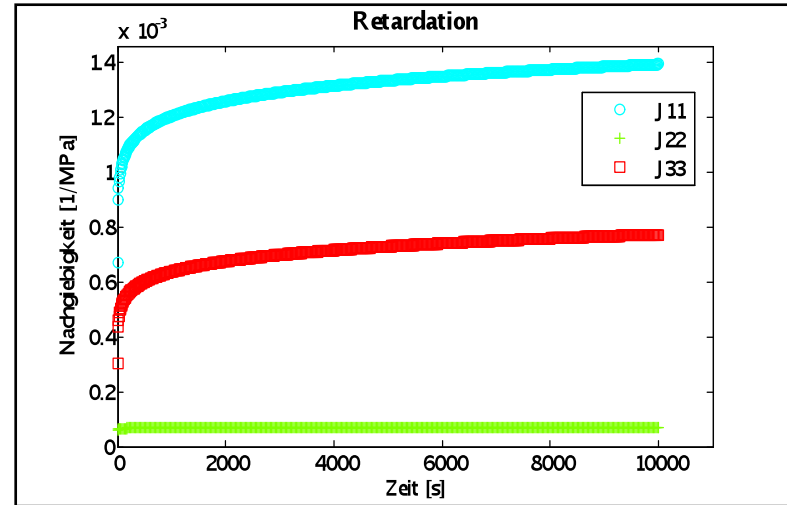
## Modellierung

- **Viskoelastizitätstheorie:**  
lineare Viskoelastizität (Linearitätsgrenze)  
orthotroper Werkstoff =>  
orthotropes linear viskoelastisches  
Materialmodell



# Viskoelastisches Verhalten

- **Retardation (Kriechen):**  
Zunahme der Dehnung bei konstanter Spannung
- **Relaxieren:**  
Abnahme der Spannung bei konstanter Dehnung
- **Einflüsse:**  
Belastungsart (Zug, Druck, Schub)  
Belastungsgrad (Belastung/Bruchlast)  
Umwelt (Alterung)



# Lineare Viskoelastizität

- **Annahmen:**
  - kleine Deformationen (linearisierter Verzerrungstensor)
  - lineare Ratenabhängigkeit von der Belastung
  - Superpositionsprinzip (Boltzmann)

$$\mathbf{T}(t) = \mathbf{L}_{s \leq t} [\mathbf{E}(s)]$$

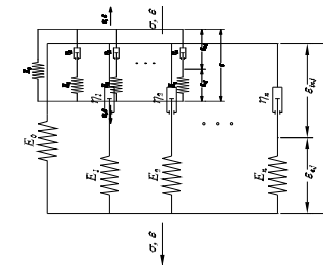
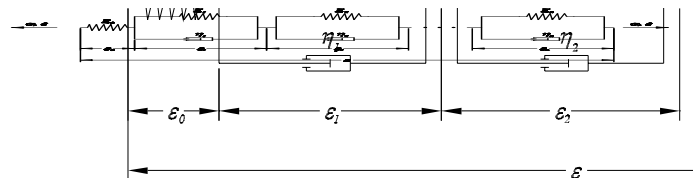
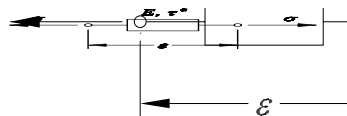
$$\mathbf{E}(t) = \hat{\mathbf{L}}_{s \leq t} [\mathbf{T}(s)]$$

$$\begin{aligned} \alpha_1 \mathbf{T}_1(t) + \alpha_2 \mathbf{T}_2(t) &= \alpha_1 \mathbf{L}_{s \leq t} [\mathbf{E}_1(s)] + \alpha_2 \mathbf{L}_{s \leq t} [\mathbf{E}_2(s)] \\ &= \mathbf{L}_{s \leq t} [\alpha_1 \mathbf{E}_1(s) + \alpha_2 \mathbf{E}_2(s)] \end{aligned}$$

- **Integrale Formulierung:**  
Gedächtnisfunktionen

$$\sigma(t) = \int_{-\infty}^t \mathbf{G}(t-s) \dot{\epsilon}(s) ds$$

- **Rheologische Modelle:**  
klassische  
kontinuierliche  
fraktionale



# Langzeitverhalten

- **Aufteilung des Materialverhaltens:**

**elastischer Anteil**

**inelastischer Anteil**

$$\varepsilon(t) = \varepsilon_{el} + \varepsilon_{in}(t)$$

- **Mathematische Ansätze:**

Potenzfunktion

Exponentialfunktion

Logarithmusfunktion

$$\varepsilon_{in}(t) = a \cdot t^n$$

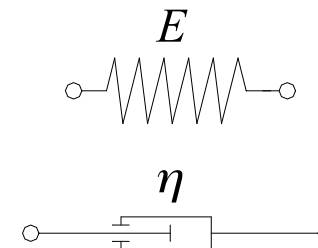
$$\varepsilon_{in}(t) = a(1 - e^{-nt})$$

$$\varepsilon_{in}(t) = a + n \cdot \log_{10} t$$

- **Mechanische Modelle:**

physikalisch interpretierbar  
mechanische Grundmodelle

- elastische Feder
- viskoser Dämpfer



# Anisotrope lineare Viskoelastizität

- **Tensor Darstellung:**  $\mathbb{T}(t) = \int_{-\infty}^t \mathbb{G}(t-s) \dot{\mathbb{E}}(s) ds$  bzw.  $\mathbb{E}(t) = \int_{-\infty}^t \mathbb{J}(t-s) \dot{\mathbb{T}}(s) ds$
- **Voigt'sche Darstellung:**  $\sigma(t) = \int_0^t \mathbf{G}(t-s) \dot{\varepsilon}(s) ds$  bzw.  $\varepsilon(t) = \int_0^t \mathbf{J}(t-s) \dot{\sigma}(s) ds$

$$\begin{pmatrix} \varepsilon_{11}(t) \\ \varepsilon_{22}(t) \\ \varepsilon_{33}(t) \\ 2\varepsilon_{12}(t) \\ 2\varepsilon_{31}(t) \\ 2\varepsilon_{23}(t) \end{pmatrix} = \int_{-\infty}^t \begin{bmatrix} J_{11}(t-s) & \cdot & \cdot & \cdot & \cdot & J_{16}(t-s) \\ \cdot & \cdot & \cdot & \cdot & \cdot & \cdot \\ \cdot & \cdot & \cdot & \cdot & \cdot & \cdot \\ \cdot & \cdot & \cdot & \cdot & \cdot & \cdot \\ \cdot & \cdot & \cdot & \cdot & \cdot & \cdot \\ J_{61}(t-s) & \cdot & \cdot & \cdot & \cdot & J_{66}(t-s) \end{bmatrix} \begin{pmatrix} \dot{\sigma}_{11}(s) \\ \dot{\sigma}_{22}(s) \\ \dot{\sigma}_{33}(s) \\ \dot{\sigma}_{12}(s) \\ \dot{\sigma}_{31}(s) \\ \dot{\sigma}_{23}(s) \end{pmatrix} ds$$

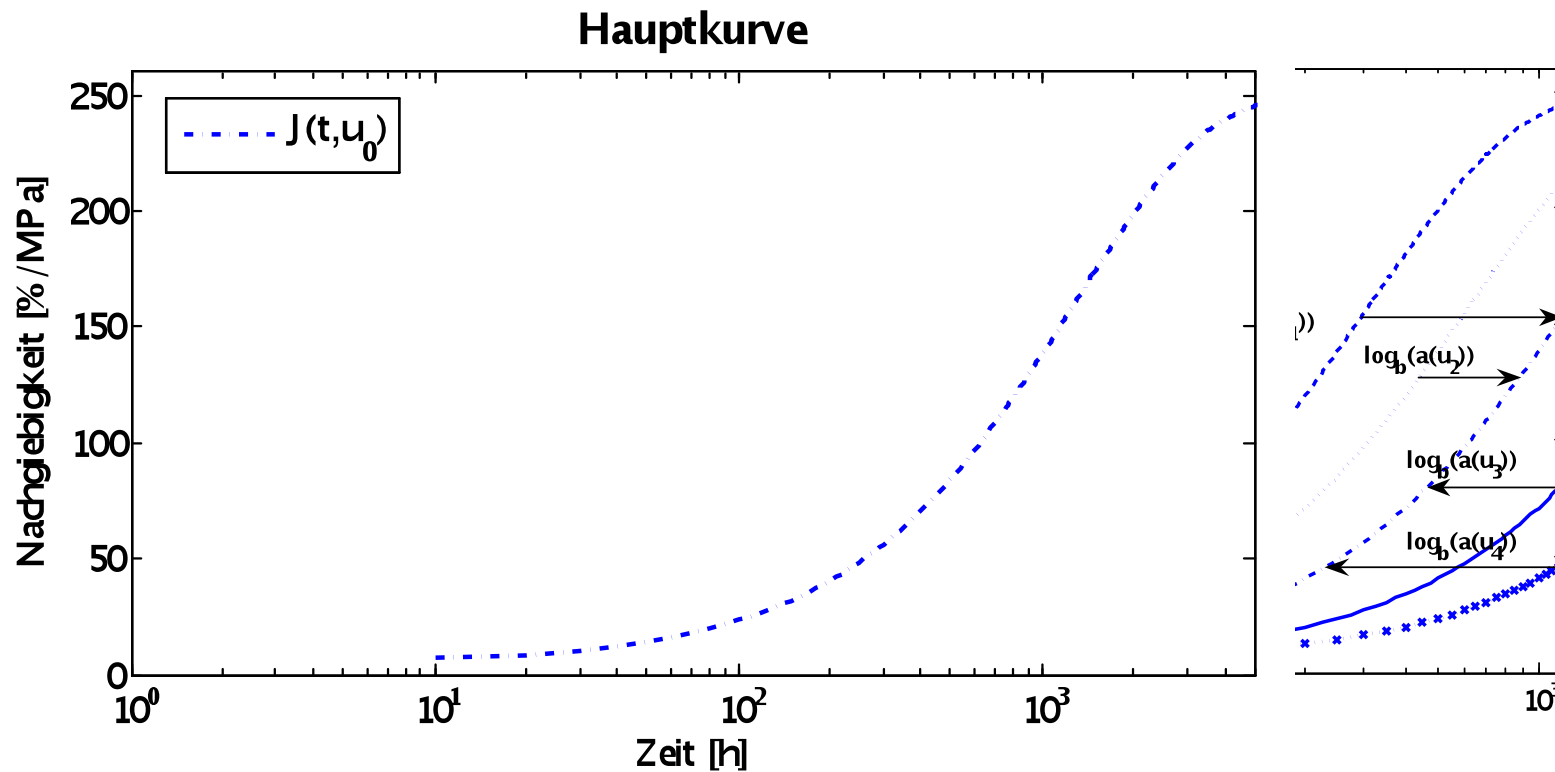
# Zeit-Feuchte Verschiebungsprinzip

## Voraussetzungen/Anmerkungen

- **feuchterheologisch einfaches Verhalten:**  
viskose Stoffanteile feuchteabhängig  
elastische Stoffanteile feuchteresistent
- **empirische Erkenntnis:**  
Feuchteerhöhung →  
Verschiebung der Dispersionsgebiete  
zu kürzeren Zeiten
- **Verschiebung**  
logarithmischer Zeitmaßstab

# Zeit-Feuchte Verschiebungsprinzip

- Hauptkurve:



# Berechnungsarten

- **Analytische Berechnung:**
  - linear elastische Verfahren
    - Stab
    - Balken
    - Scheibe
    - Platte
    - Membrane
  - nichtlinear inelastische Verfahren
    - iterative Verfahren (Theorie II. Ordnung und höher)
- **Numerische Berechnung:**
  - Ritzsches Verfahren
  - Differenzenverfahren
  - Finite Element Methode (FEM)
  - Boundary Element Methode (BEM)

# Numerische Simulation FEM

## Finite – Elemente – Methode (FEM)

wichtiges Näherungsverfahren in den Ingenieurwissenschaften und in der mathematischen Physik zur Lösung von

- Variationsproblemen (Extrema von Funktionalen, die auf eine Klasse von Funktionen definiert sind; Brachistochrone/Bernoulli)
- Differentialgleichungen (Rand- und Anfangsrandwertproblemen)
- Variationsungleichungen (Differentialgleichungen mit undefinierten RB und AB)

## Vorteile der FEM:

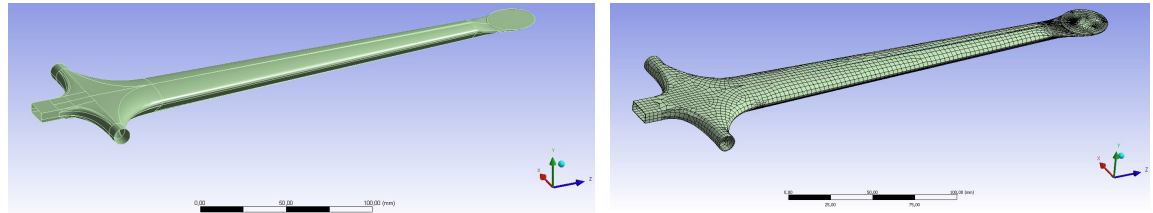
- Die Berücksichtigung von komplizierten zwei- und dreidimensionalen Geometrien ist relativ einfach
- Berücksichtigung von vielen unterschiedlichen Materialmodellen (elastische, viskose, plastische und Kombinationen daraus)
- Kleine und große Deformationen (Kontakt, Stabilität)

# Numerische Simulation FEM

## Zweck

Numerische Untersuchung der Beanspruchung von Bauteilen für die Auslegung und Bemessung

## Ablaufschritte



- **Diskretisierung**

Zerlegung einer Struktur in kleine endliche (finite) Elemente (Stab, Balken, Flächenelement, Solid)

- **Formfunktion/Ansatzfunktion**

Wahl einer Formfunktion für jedes Element; beschreibt einen approximierten Verformungsverlauf im Element; Parameter  $a_i$  der Formfunktionen sind die Knotenverschiebungen  $u_i$  des Elementes

- **Prinzip von d'Alambert in Lagrangescher Fassung; Minimum der potentiellen Energie (Castigliano); WGV (Weg-Größen-Verfahren):**

Bestimmung der unbekannt Parameter  $a_i$  der Formfunktionen

$$\text{P.v.d' A.i.L.F.: } \delta W_\sigma = \delta W_{\ddot{a}} + \delta W_T \quad \text{bzw.} \quad \text{P.d.v.V.: } \delta W_\sigma = \delta W_{\ddot{a}}$$

$$\Pi = A^{(i)} + A^{(a)}; \quad \partial \Pi / \partial a_i = 0 \quad \rightarrow \quad a_i$$

- **Verzerrungen/Spannungen (kinematische/konstitutive Beziehung)**

Die Ableitung der Verformungen in den Elementen ergibt die Verzerrungen  $\rightarrow$  Konstitutive Beziehung  $\rightarrow$  Spannungen

# Numerische Simulation FEM

## Grundgleichung der FEM (statisch)

$$[K]\{U\} = \{R\} \Leftrightarrow \begin{bmatrix} K_{11} & K_{12} & \cdot & \cdot \\ K_{21} & \cdot & \cdot & \cdot \\ \cdot & \cdot & \cdot & \cdot \\ \cdot & \cdot & \cdot & K_{nn} \end{bmatrix} \cdot \begin{bmatrix} U_1 \\ \cdot \\ \cdot \\ U_n \end{bmatrix} = \begin{bmatrix} R_1 \\ \cdot \\ \cdot \\ R_n \end{bmatrix}$$

**Gesucht: Knotenverschiebungen**  $\{U\} = [K]^{-1} \{R\}$

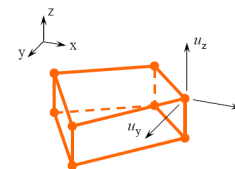
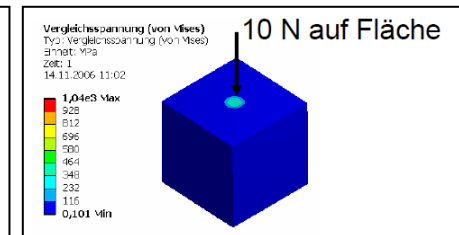
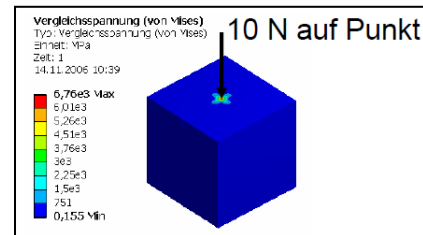
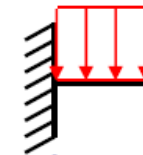
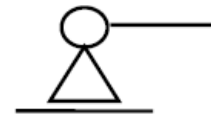
## Lösungsprobleme

- Invertierung  $[K]^{-1}$  (extreme Steifigkeitssprünge => Singuläre Steifigkeitsmatrix)
- Lineare Abhängigkeit im Gleichungssystem (zu wenige Randbedingungen = Starrkörperverschiebung)
- Zu feine Diskretisierung (zu viele Freiheitsgrade, Speicherproblem)

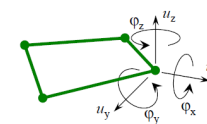
# Numerische Simulation FEM

## Anwendungsprobleme der FEM

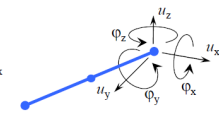
- Falsche Lagerrandbedingungen  
starre/nachgiebige/gelenkige Lagerung?
- Lastkonzentrationen  
punktuelle/flächige Lasteinleitung?
- Falsches Materialmodell  
Werkstoffparameter?
- Zu grobe Diskretisierung  
zu steife Struktur?
- Elementwahl  
Verschiebungsansatz?, Knotenfreiheitsgrade?
- Eingabefehler



Volumenelemente  
3 FHG pro Knoten



Schalenelemente  
6 FHG pro Knoten



Balkenelemente  
6 FHG pro Knoten

# Programmcodes FEM

## Kommerzielle Programmcodes:

- [ABAQUS](#): Universell einsetzbares FEM Programm mit einem Löser auch für hoch-nichtlineare Problemstellungen von ABAQUS Inc. (jetzt [Dassault Systèmes](#))
- [ADINA](#) : universelles FEM-Programmsystem für Struktur, Strömung und Fluid-Struktur-Interaktion von ADINA R&D Inc. USA
- [Ansys](#): universell einsetzbares FEM-Programm (linear, nichtlinear, kleine und große Verformungen) von Ansys Inc., USA entwickelt
- [COMSOL Multiphysics](#): FEM-Simulationswerkzeug für beliebig gekoppelte physikalische Prozesse
- [MARC](#): FEM-Programm von Marc Analysis Research Corporation, USA (jetzt [MSC Software](#))
- [Nastran](#): **NASTRAN NASA Structural- Analysis-Program**, universell einsetzbares FEM-Programm, von der NASA entwickelt
- [Samcef](#): SAMCEF, universell einsetzbares FEM-Programm, von der LTAS (Belgien) entwickelt
- [LS-DYNA](#): universelles FEM-Programm mit Kernkompetenz in expliziter hochgradig nichtlinearer Strukturmechanik, LSTC. Inc.
- [FEAP](#): FEM-Programm der UC Berkeley mit frei zugänglichem Quellcode. Zielgruppen sind Anwender in der universitären Ausbildung oder in der Forschung.

## Freie Programmcodes:

- [CalculiX](#): FEM-Programmpaket mit graphischem Pre- und Postprozessor, entwickelt von Guido Dhondt und Klaus Wittig. Teilweise kompatibel zum Abaqus-Format.
- [Elmer](#): Finite-Elemente-Programm, mit dem strukturmechanische Simulationen und numerische Strömungssimulationen berechnet werden können.
- [DUNE](#): Bibliothek, die eine vereinheitlichte Schnittstelle für verschiedene Gitter und FEM-Programme bereitstellt. Wird vor allem in der universitären Ausbildung und Forschung benutzt.
- [Z88](#): Ein GNU-GPL-Freeware FEM-Programm, entwickelt von Professor Frank Rieg. Es beinhaltet eine graphische Bedienoberfläche sowie mehrere leistungsstarke Solver und ist für Windows und Linux verfügbar.

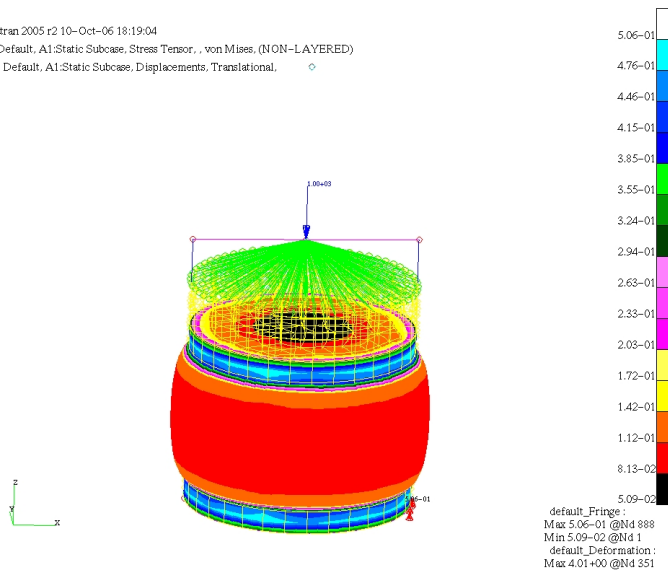
# Numerische Simulation FEM

## Simulationsbeispiele (isotrope Werkstoffe)

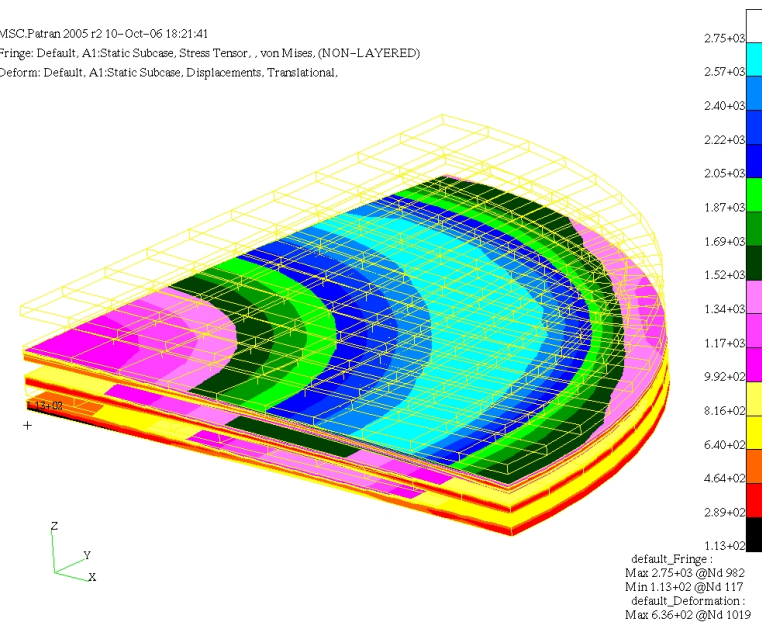
### Elastomerlager

### Verbund-Scheibe (Elastomer/Stahl)

MSC.Patran 2005 r2 10-Oct-06 18:19:04  
Fringe: Default, A1:Static Subcase, Stress Tensor, , von Mises, (NON-LAYERED)  
Deform: Default, A1:Static Subcase, Displacements, Translational.



MSC.Patran 2005 r2 10-Oct-06 18:21:41  
Fringe: Default, A1:Static Subcase, Stress Tensor, , von Mises, (NON-LAYERED)  
Deform: Default, A1:Static Subcase, Displacements, Translational.



# Numerische Simulation FEM

## Simulationsbeispiele

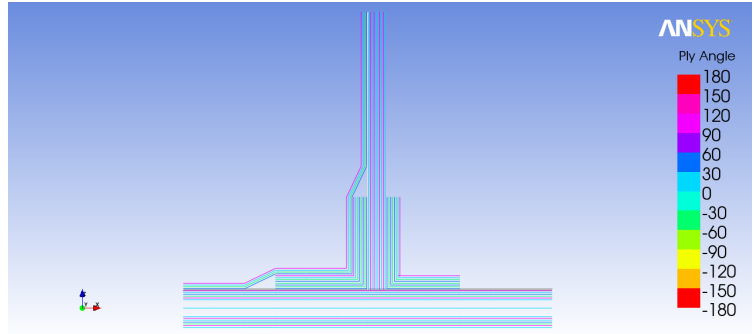
(orthotrope Werkstoffe)

$$[K^{(m)}] = \int_{V^m} [B^{(m)}]^T [E^{(m)}] [B^{(m)}] dV^m$$

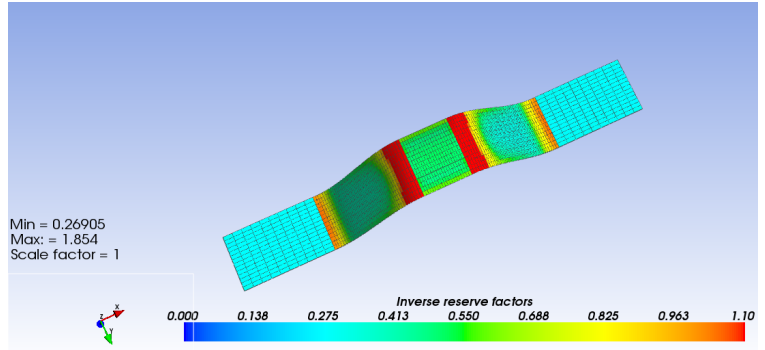
$$[E^{(m)}]^{-1} = \begin{pmatrix} \frac{1}{E_T} & -\frac{\nu_{LT}}{E_L} & -\frac{\nu_{RT}}{E_R} & 0 & 0 & 0 \\ -\frac{\nu_{TL}}{E_T} & \frac{1}{E_L} & -\frac{\nu_{RL}}{E_R} & 0 & 0 & 0 \\ -\frac{\nu_{TR}}{E_T} & -\frac{\nu_{LR}}{E_L} & \frac{1}{E_R} & 0 & 0 & 0 \\ 0 & 0 & 0 & \frac{1}{G_{TL}} & 0 & 0 \\ 0 & 0 & 0 & 0 & \frac{1}{G_{RT}} & 0 \\ 0 & 0 & 0 & 0 & 0 & \frac{1}{G_{LR}} \end{pmatrix}$$

wesentlich: realitätsnahes  
Materialmodell

### CFK-T-Stoss



### CFK-Bügel



**CFK Booster**

# CFK Booster Ariane 5

**Stahl-Booster: schwerste Strukturkomponente ~19 t  
größtes Gewichteinsparpotential  
(~40% bei CFK)**



• **CFK-Booster:**



**Stahl-Ring:**



**CFK-Ring:**



# CFK DAAR-Ring Ariane 5

**Motivation: Gewichtseinsparung  
neue Technologien (Fertigung/Entwicklung)  
Weltraumtechnik lokal binden**

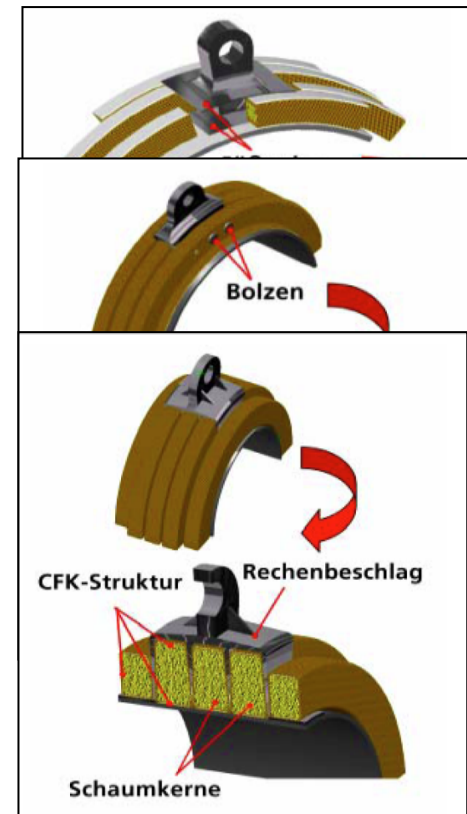
**Booster und Ring aus CFK (mechanisch erforderlich)**

**Entwicklungsbeispiele\*:**

**Bandagenkonzept\*:** Beschlag mit Sandwich-Ringen (UD) im  
Formschluss mit Booster, unlösbare Verbindung

**Bolzenkonzept\*:** Beschlag durch Bolzen mit Sandwich-Ringen  
verbunden, lösbare Verbindung – jedoch Lochleibungsfestigkeit für  
FVW generell kritisch (Querspannungen)

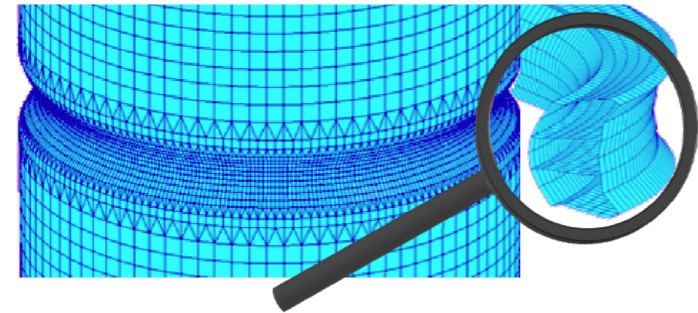
**Rechenkonzept\*:** Beschlagbleche durch Reibschluss mit den CFK  
Stegen der Ringe verbunden, unlösbare Verbindung



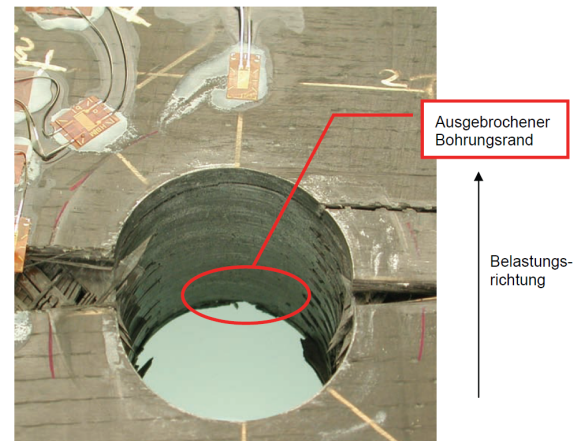
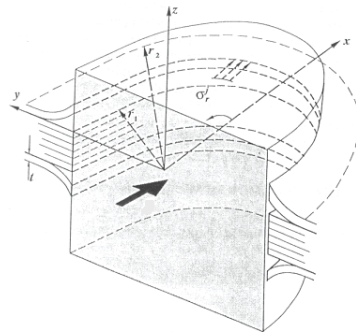
\*) T. Niederstadt et al., Umsetzung eines Booster DAAR-Ringes in Faserverbundbauweise für die Ariane 5 Trägerrakete, Institut für Strukturmechanik, DLR-Braunschweig

# CFK DAAR-Ring Ariane 5

**Simulationsergebnisse\*:**  
Hohe Ringsteifigkeit  
⇒ Boostereinschnürung  
⇒ Ringnormalkraft + Stülpmoment  
am Ring zufolge Inndruck (~90 bar)



**Testergebnisse\*\*:**  
z. B: Lochleibungsfestigkeit



\*) T. Niederstadt et al., Umsetzung eines Booster DAAR-Ringes in Faserverbundbauweise für die Ariane 5 Trägerrakete, Institut für Strukturmechanik, DLR-Braunschweig, 2003

\*\*\*) H. Diem, Tragfähigkeit von Bolzenverbindungen in dickwandigen Faserverbundstrukturen, TU-München Dissertation, 2007

# Quellenverzeichnis

**Auf ein direktes Zitieren der Quellen von Texten, Bildern und Fotos wurde verzichtet.**

**Alle Inhalte des Vortrages basieren auf folgenden Quellen:**

1. Raumfahrttechnik I, Skript, Prof. Häusler, Universität der Bundeswehr, München
2. Ariane 5 User´s Manual, Issue 5, Rev. 0, [www.arianespace.com](http://www.arianespace.com)
3. First Test Firing of an Ariane-5 Production, Booster, esa bulletin 104 — november 2000
4. [www.mt-aerospace.com](http://www.mt-aerospace.com)
5. [www.eads.com](http://www.eads.com)
6. [www.cadfem.at](http://www.cadfem.at)
7. [www.andritz.com](http://www.andritz.com)

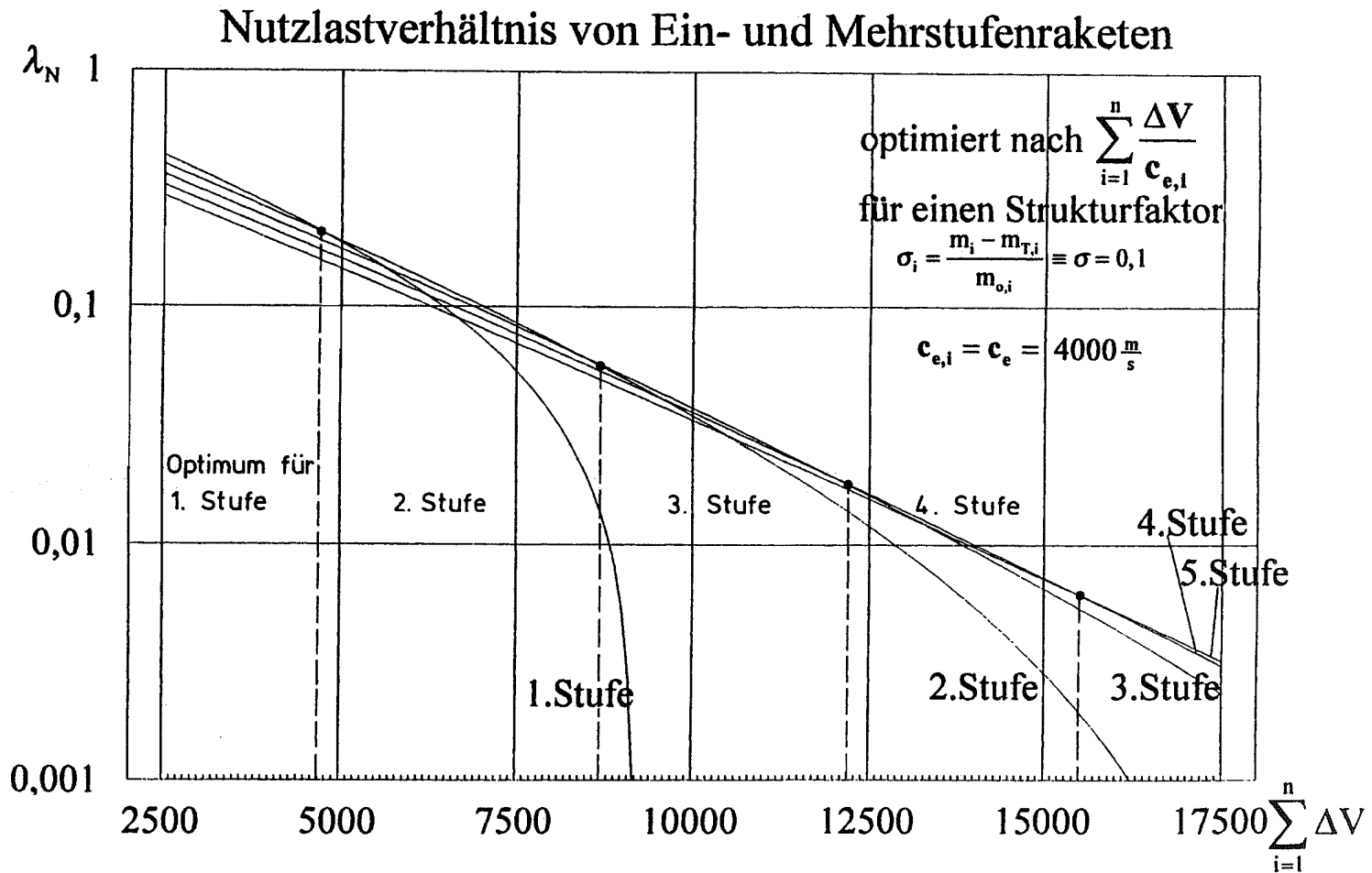
# Zusammenfassung

- **Antriebsvermögen**  
Nutzlast-, Struktur-, Treibstoffmasse
- **Raketenstrukturen**  
Ariane 5
- **Faser-Verbund-Werkstoffe**  
Phänomenologie und Modellierung
- **FEM**  
Grundlagen
- **FVW-Booster-DAAR**  
Vorstellung

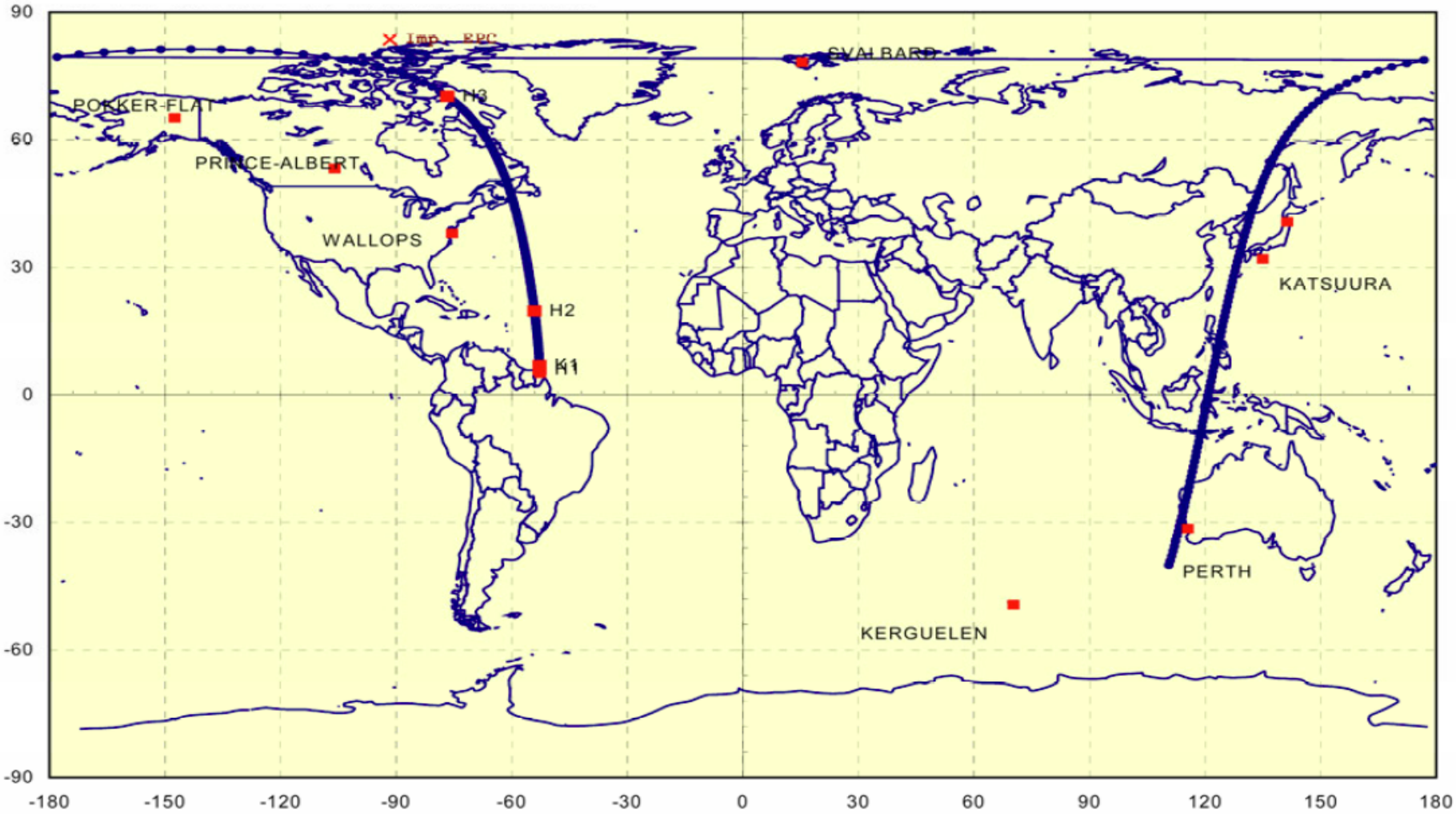
**Danke**  
**für Ihre**  
**Aufmerksamkeit**



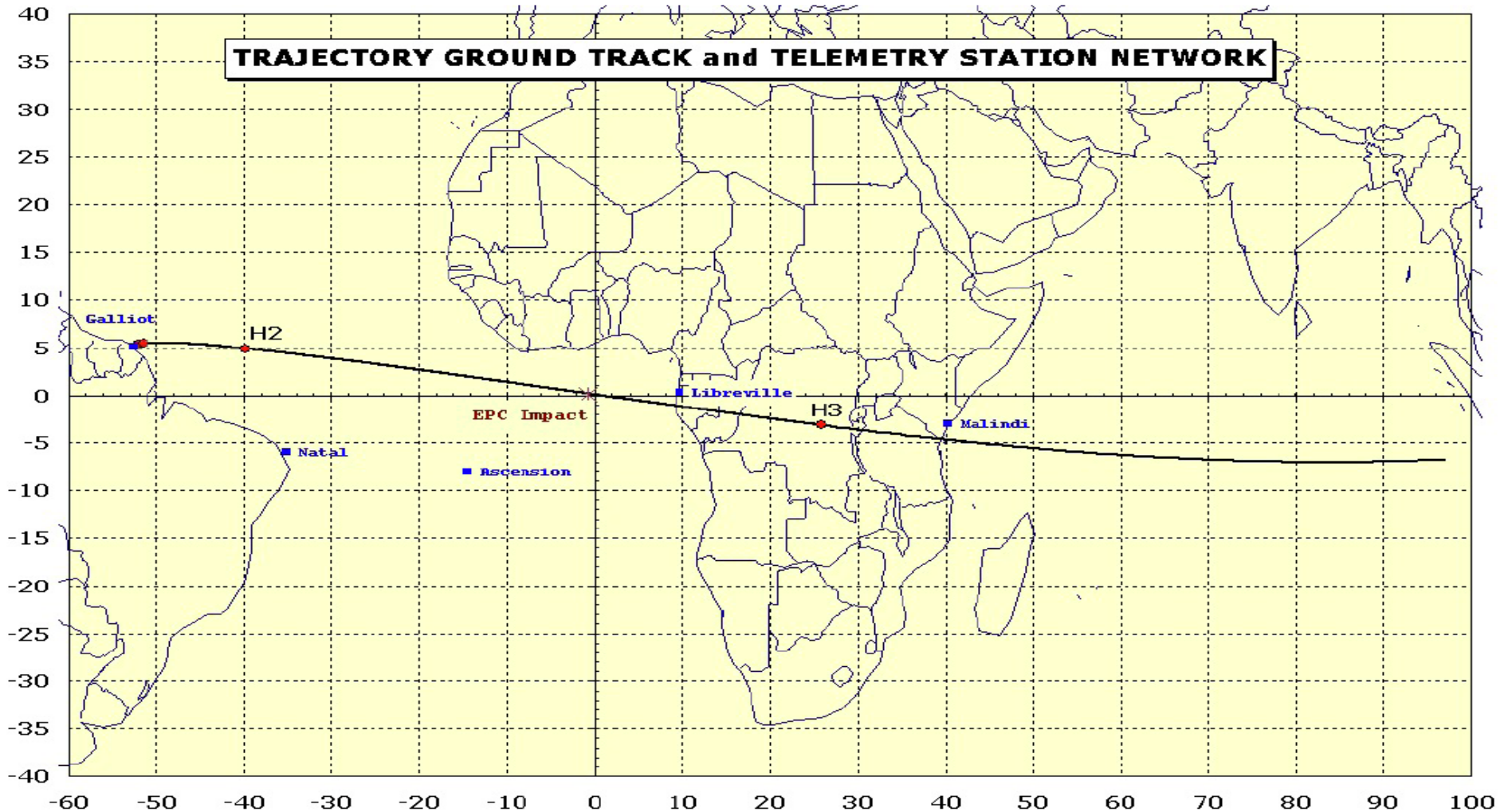
# Mehrstufenprinzip



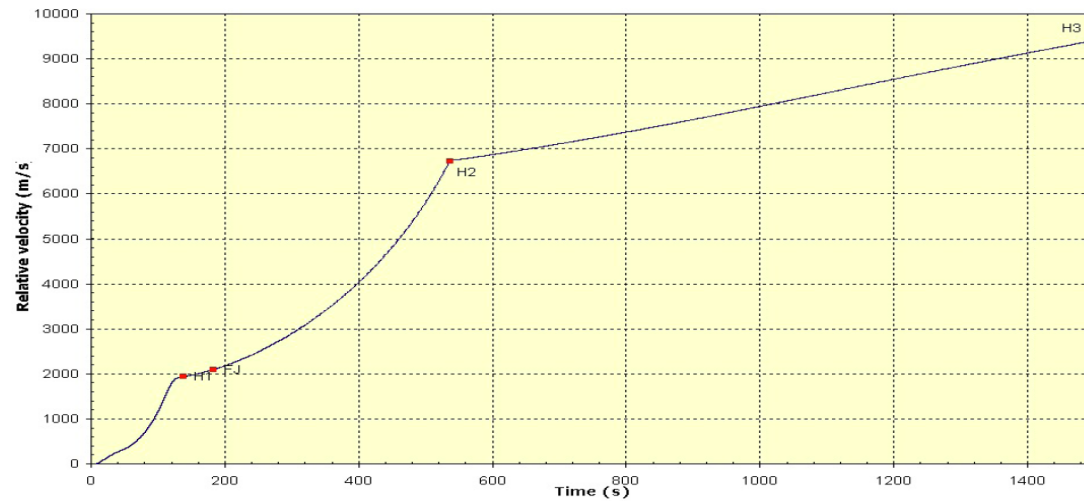
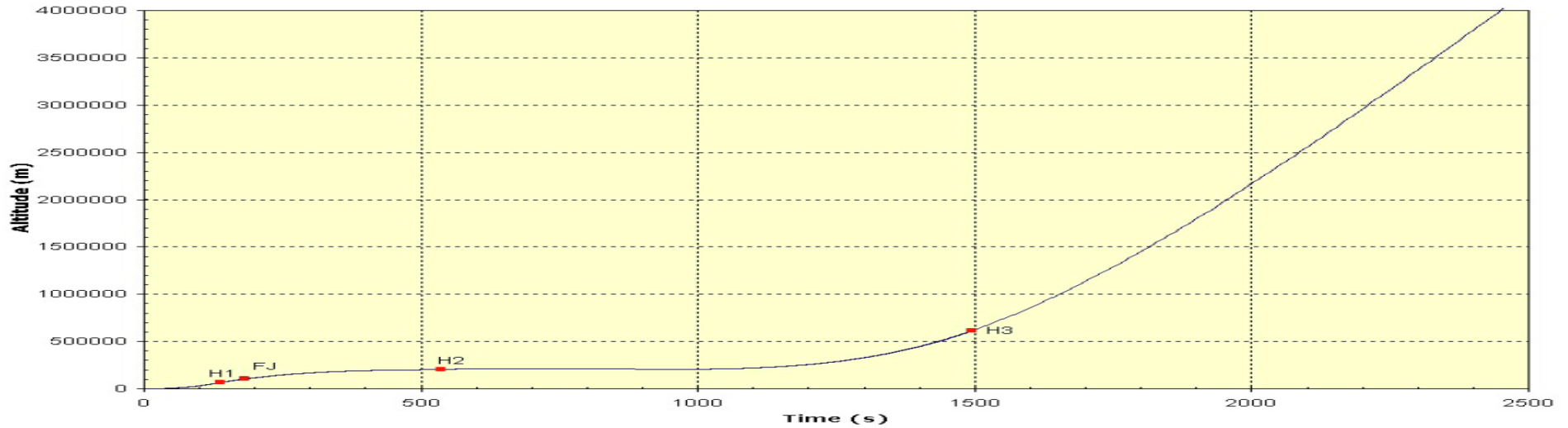
# Trajectory Ariane 5 SSO Sun Synchronous Orbit



# Missionsprofil Ariane 5 GTO Geostationary Transfer Orbit



# Bahnhöhe/Geschwindigkeit Ariane 5 GTO

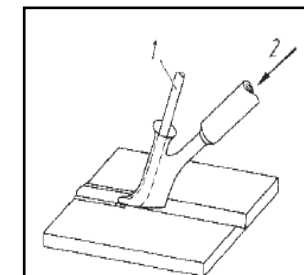
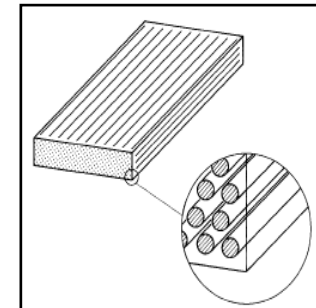
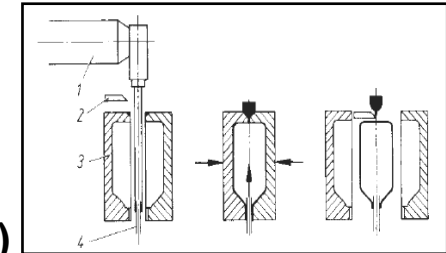


**Kunststoff**

# Kunststoff als Polymerwerkstoff

## Verarbeitung

- Urformen:**  
 Spritzgießen, Pressen, Spritzpressen (alle Polymerwerkstoffe)  
 Kalandrieren, Extrudieren, Blasformen (Thermoplaste)  
 Schäumverfahren (alle Polymerwerkstoffe)  
 Faserverstärkte Kunststoffe (alle Polymerwerkstoffe)
- Umformen und Fügen:**  
 Warmformen, Schweißen (Thermoplaste)  
 Kleben (auch nicht polymere Werkstoffe)
- Faserverstärkte Kunststoffe:**  
 Verbundwerkstoff aus Polymerwerkstoff und Fasern  
 Matrixwerkstoff : Thermo-, Duroplaste, Elastomere  
 Fasern: Glas-, Kohlenstoff-, synthetische Faser (kurz/lang)  
 Vorteile: hohe Steifigkeit und Festigkeit bei niedriger Dichte  
 Nachteil: hoher Materialpreis und Verarbeitungsaufwand



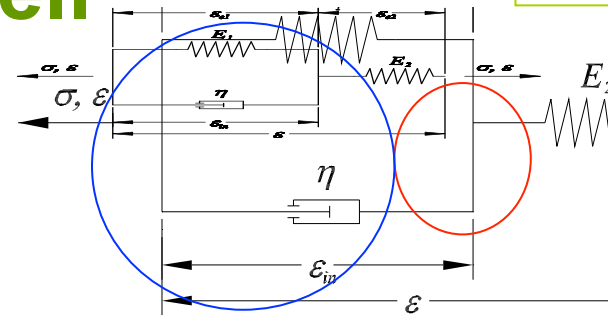
# FKV

## Einfluss Temperatur, Feuchte und Klima

- **Temperatur:**  
primär Matrix betroffen  
Temperaturanstieg:  
Steifigkeit/Festigkeit sinken, Relaxation/Retardation beschleunigt
- **Feuchte:**  
primär Matrix betroffen  
moderate Feuchteaufnahme vorteilhaft (duktilere, Spannungsspitzen)  
Feuchtezunahme:  
Zunahme der Strukturmasse, Quellen,  
Relaxation/Retardation beschleunigt, Reduktion des Schubmoduls
- **Klima:**  
hohe Temperatur und Feuchtigkeit => Steifigkeit/Festigkeit sinken sehr stark

# Dreiparameter Modell

- **Modell:**
  - elastische Feder
  - Kelvin-Voigt Element
- **Konstitutive Beziehung:**
  - Kräftegleichgewicht
  - Kompatibilität
  - Materialgleichung (DGL)
- **Lösungen:**
  - lineare Viskoelastizität (analytische Lösung mit Ansatzfunktion und Anfangsbedingungen)
- **Belastungsfunktionen:**
  - Trapezform
  - Sprungfunktion
  - Exponentialfunktion



$$\sigma = \sigma_1 = \sigma_2$$

$$\epsilon = \epsilon_{e1} + \epsilon_{e2}$$

$$= \epsilon_{in} + \epsilon_{e2}$$

$$\sigma_1 = E_1 \epsilon_{e1} + \eta \dot{\epsilon}_{in}, \quad \dot{\epsilon}_{in} = \dot{\epsilon} - \dot{\epsilon}_{e2} \quad \text{und} \quad \epsilon_{e2} = \frac{\sigma_2}{E_2}$$

$$\dot{\sigma} + \frac{E_1 + E_2}{\eta} \sigma = E_2 \cdot \dot{\epsilon} + \frac{E_1 \cdot E_2}{\eta} \epsilon$$

$$e^{-\frac{E_1 + E_2}{\eta} t}, \quad \sigma(t = 0) = 0 \quad \text{und} \quad \epsilon(t = 0) = 0$$

$$\epsilon(t) = \frac{1}{E_2} \sigma(t) + \int_0^t \frac{1}{E_1} \left( 1 - e^{-\frac{E_1}{\eta}(t-s)} \right) \dot{\sigma}(s) ds$$

# Fraktionale lineare Viskoelastizität

- lineare Materialgleichungen

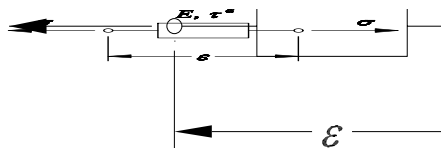
Elastizität:  $\sigma = E \cdot \varepsilon$     Viskosität:  $\sigma = \eta \cdot \dot{\varepsilon}$      $\eta$  ... Viskosität /Pa s

- durch fraktionale Ableitung ersetzt

$$\sigma = E \cdot \tau^\alpha \cdot \frac{d^\alpha \varepsilon}{dt^\alpha} \quad \alpha = \begin{cases} 0 \hat{=} \text{Elastizität} \\ 1 \hat{=} \text{Viskosität} \end{cases} \quad \tau = 1s$$

- Fraktionale Differentiation:  $\frac{d^\alpha f}{dt^\alpha} = F_{-\alpha}(t) = \frac{1}{\Gamma(1-\alpha)} \cdot \int_0^t (t-s)^{-\alpha} \cdot \dot{f}(s) ds$

- **Fraktionales Element:**  $\sigma(t) = E \cdot \tau^\alpha \cdot \frac{d^\alpha [\varepsilon(t)]}{dt^\alpha}$   
 $= \frac{E \cdot \tau^\alpha}{\Gamma(1-\alpha)} \cdot \int_0^t (t-s)^{-\alpha} \cdot \dot{\varepsilon}(s) ds = \int_0^t G(t-s) \cdot \dot{\varepsilon}(s) ds$



$$G(t) = \frac{E}{\Gamma(1-\alpha)} \cdot \left(\frac{\tau}{t}\right)^\alpha$$

$$J(t) = \frac{1}{E \cdot \Gamma(1+\alpha)} \cdot \left(\frac{t}{\tau}\right)^\alpha$$

→ Potenzfunktionen

# Feuchterheologische einfache Stoffe

- Feuchteabhängige Viskosität:**  
 alle viskosen Dämpfer besitzen dieselbe Feuchteabhängigkeit  
**Referenzfeuchte**  
**Zeit-Feuchte-Verschiebungsfaktor**

$$\eta(u) = \eta(u_0) \cdot a(u)$$

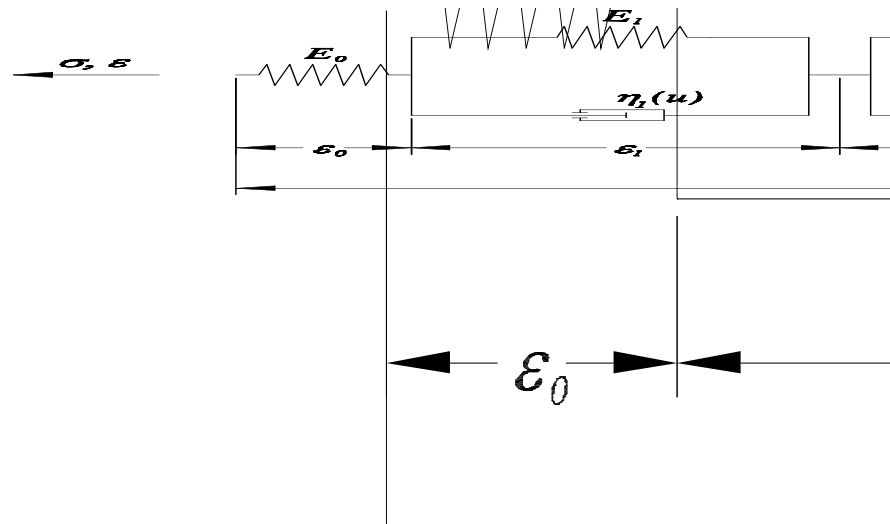
- Feuchteabhängige Zeit:**  
 reale Zeit  $t$   
 materialeigene Zeit  $z$

$$dz = \frac{dt}{a[u(t)]} \rightarrow z(t) = \int_0^t \frac{ds}{a[u(s)]}$$

- Feuchteabhängige Modelle:**  
 Dreiparameter Modell  
 Verallgemeinerung

$$\sigma(z) = \int_0^{z(t)} G [z(t) - \zeta(\vartheta)] \cdot \varepsilon'(\zeta) d\zeta$$

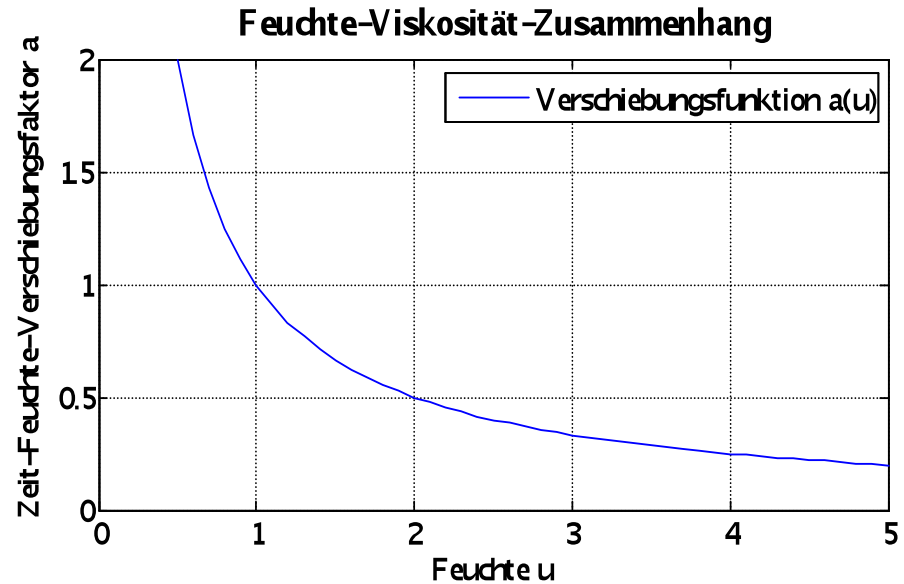
$$\varepsilon(z) = \int_0^{z(t)} J [z(t) - \zeta(\vartheta)] \cdot \sigma'(\zeta) d\zeta$$



**Zeit-Feuchte-Verschiebung**

# Feuchteabhängiger Zeitmaßstab

- **Materialeigene Zeit  $z(t)$ :**  
Differential  
Integral
- **Zeit-Feuchte-Verschiebungsfaktor  $a(u)$ :**  
 (Funktion)
- **Einfluss der Materialfeuchte**  
 Materialfeuchte  $u(t)$   
 Referenzfeuchte  $u_0$



$$u(t) = u_0 \rightarrow a(u_0) = 1 \rightarrow z(t) = \int_0^t \frac{ds}{a(u_0)} = \frac{t}{a(u_0)} = t$$

materialeigene Zeit ist **gleich** der realen Zeit

$$u(t) > u_0 \rightarrow a(u) < 1 \rightarrow z(t) = \frac{t}{a(u)} > t$$

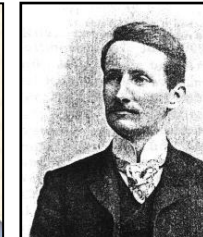
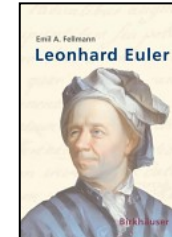
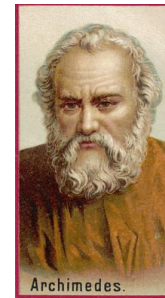
materialeigene Zeit läuft **schneller** als reale Zeit

$$u(t) < u_0 \rightarrow a(u) > 1 \rightarrow z(t) = \frac{t}{a(u)} < t$$

materialeigene Zeit läuft **langsamer** als reale Zeit

# Geschichte der FEM

## Numerische Simulation



## Formale mathematische Entwicklung

- **Archimedes v. Syrakus (287 – 212 v. Chr.):** Modell für Kreisumfang; unendlich viele Punkte der Kreislinie → 96-Eck, endlich (finite) Anzahl gerader Sehnenstücke (Elemente) →  $3 \frac{10}{71} < \pi < 3 \frac{1}{7}$
- **L. Euler (1743):** Prinzip der kleinsten Wirkung (Entwicklung der Variationsrechnung)
- **Ritz (1909):** Lösung gewisser Variationsprobleme (globale Ansatzfunktionen)
- **R. Courant (1943):** Verfeinerung des Ritz'schen Verfahrens (lokale Ansatzfunktionen), Ansatzfunktionen je Element → Gleichungssystem mit entsprechend vielen Unbekannten (Lösungsproblem bei Handrechnung)

# Geschichte der FEM

## Angewandte ingenieurmäßige Entwicklung:

- **Stabwerksstatik: KGV – WGV** war um 1900 ausreichend entwickelt (Begrenzt durch Handrechnung ~ 10 Unbekannte)
- **Matrixschreibweise (bis 1950):** Übersichtliche Schreibweise bei Gleichungssystemen mit mehreren Unbekannten
- **Digitales Rechenzeitalter:** Umformulierung der herkömmlichen Berechnungsmethoden in ein rechnergeeignetes Format (Matrixschreibweise)
- **Flugzeugbau:** Gleichungssysteme mit ~ 50 Unbekannten; erste kommerzielle Anwendung (Boing – Flugzeugflügel)
- **Stürmische Entwicklung:** Strukturmechanik, Kontinuumsmechanik, Lösung von Feldproblemen (Temperaturfelder, Strömungsfelder, Magnetfelder), Akustik, etc.